



LHCb Collaboration – 21 рік співпраці

# КРАСИВА ТА ЧАРІВНА ФІЗИКА ЕКСПЕРИМЕНТУ LHCb (CERN).

*(Для Вчителів з України)*

**В.М. Пугач**

**Інститут ядерних досліджень НАН України**

# Зміст

- **Вступ**

ЦЕРН. Новий простір знань на LHC.

LHC – генератор КРАСИВИХ (b-beauty), ЧАРІВНИХ (c-charm), ДИВНИХ (s-strangeness) та інших зразків матерії.

Фізичні цілі LHCb. Міжнародна Колаборація LHCb.

- **Експеримент LHCb**

- **Вибрані результати експерименту LHCb (грудень 2016 р.)**

- Властивості важких адронів (маса, час життя, гілки розпаду, ...)
- Матерія – Анти матерія (осциляції B – мезонів, порушення CP – симетрії, трикутник унітарності SM...)
- Рідкісні моди розпаду важких адронів – можливе джерело Нової Фізики.
- Екзотичні багатокваркові стани.

- **Висновки/Перспективи**
















## ЦЕРН.

### Європейський центр ядерних досліджень. Швейцарія (Женева). Великий Адронний Колайдер (ВАК)

- ЦЕРН (1954 р.) - міжнародна наукова організація - найпотужніший фізичний центр в світі.
- В 1990-х роках в ЦЕРНі створено інтернет. Нова технологія обчислення величезних масивів даних – GRID - для обробки даних експериментів на ВАК.
- ВАК (ЛНС) - найбільший науковий проект за всю історію людства.
- Спорудження ВАК ~14 років, близько \$10 млрд.
- Кільцевий прискорювач. Тунель 26,7 км під землею (100 м).
- Максимальна енергія - 14 TeV.

#### The twenty two Member States of CERN

Member States (date of accession)

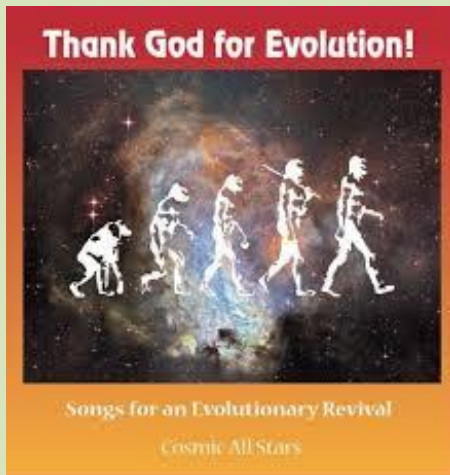
 Austria (1959)	 Romania (2016)
 Belgium (1953)	 Slovakia (1993)
 Bulgaria (1999)	 Spain (1961-1968, 1983-)
 Czech Republic (1993)	 Norway (1953)
 Denmark (1953)	 Sweden (1953)
 Finland (1991)	 Switzerland (1953)
 France (1953)	 United Kingdom (1953)
 Germany (1953)	
 Greece (1953)	
 Hungary (1992)	
 Israel (2014)	
 Italy (1953)	
 Netherlands (1953)	
 Poland (1991)	
 Portugal (1986)	



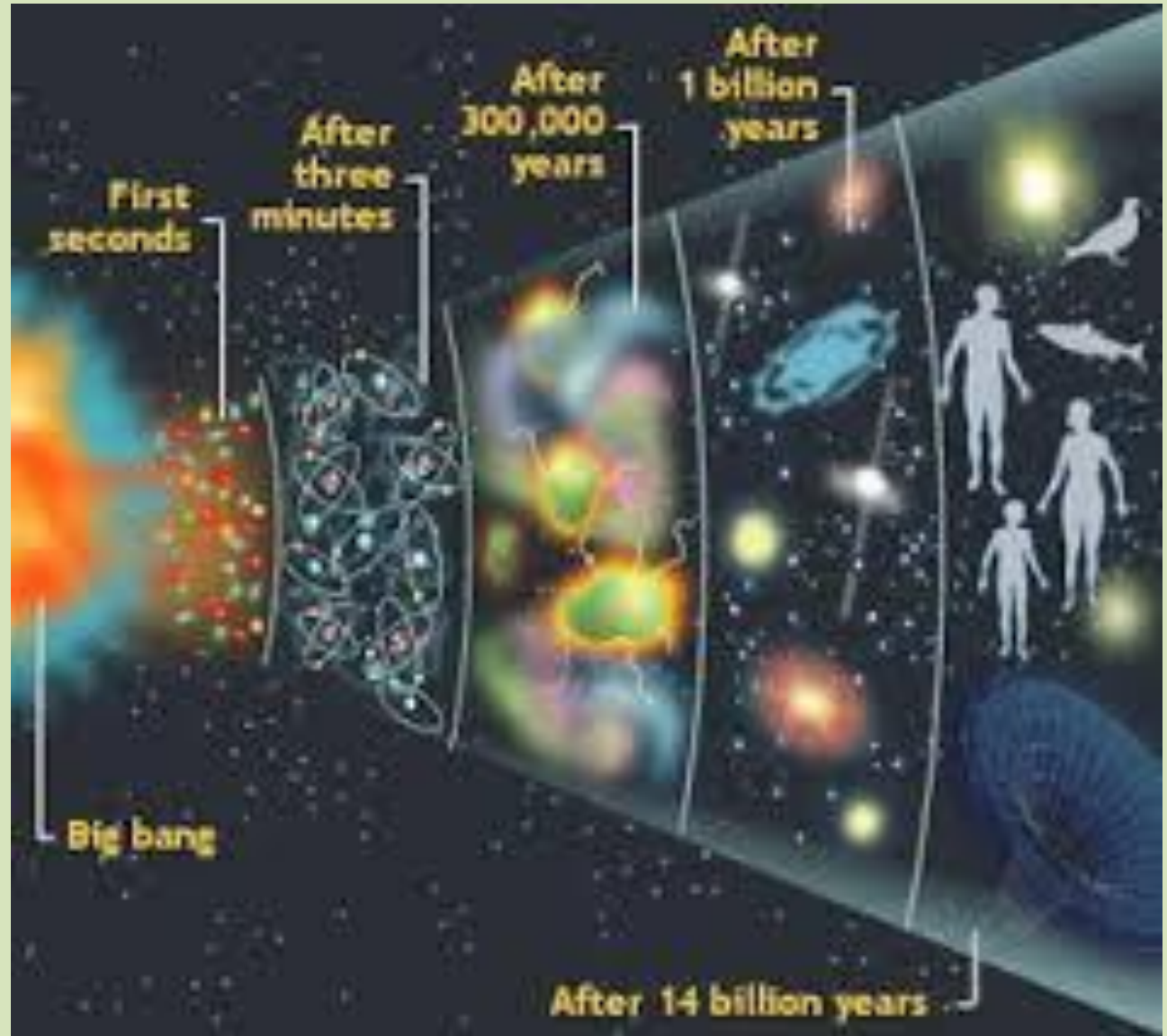
Serbia and Cyprus are associate members in the pre-stage to membership, and Turkey, Pakistan and **Ukraine (2016)** are associate members.

**ЛНС (ЦЕРН) – генератор  
первинної матерії.**

**Всесвіт:  
BIG BANG, Еволюція ...**



**Вступ.  
ЦЕРН. Нові Знання. Простір. Час. Енергетика.  
Об'єкти досліджень. Знаряддя досліджень.**

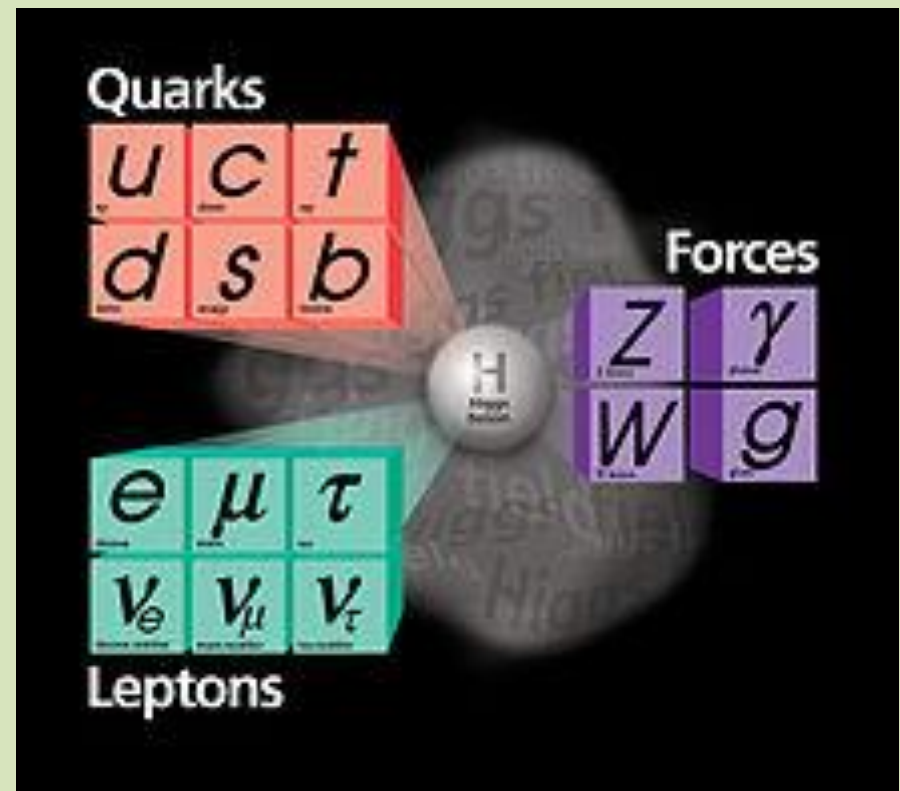






## Стандартна Модель елементарних частинок

- 12 (+12 анти-) фундаментальних частинок, складових матерії (помаранчеві – кварки, зелені - лептони)
- 4 фундаментальних носіїв сили взаємодії (фіолетові цеглинки).
- Бозон Хіггса (в центрі) необхідний для пояснення маси лептонів і кварків.



[http://en.wikipedia.org/wiki/Standard\\_Model](http://en.wikipedia.org/wiki/Standard_Model)

Кварк-глюонний світ –  
атометровий простір ( $10^{-18}$  м).  
Стандартна Модель (СМ).

Вступ.  
Нові Знання. Простір. Час. Енергетика. Об'єкти  
досліджень. Знаряддя досліджень.

Три покоління  
Кварків та Лептонів.

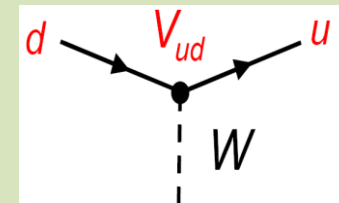
В СМ взаємодії-переходи від одного стану  
до іншого описують матричними  
елементами матриці СКМ  
(Cabibo-Kobayashi-Maskawa)



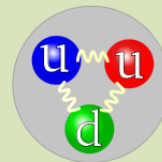
СКМ - матриця

$$\begin{bmatrix} d' \\ s' \\ b' \end{bmatrix} = \begin{bmatrix} V_{ud} & V_{us} & V_{ub} \\ V_{cd} & V_{cs} & V_{cb} \\ V_{td} & V_{ts} & V_{tb} \end{bmatrix} \begin{bmatrix} d \\ s \\ b \end{bmatrix}$$

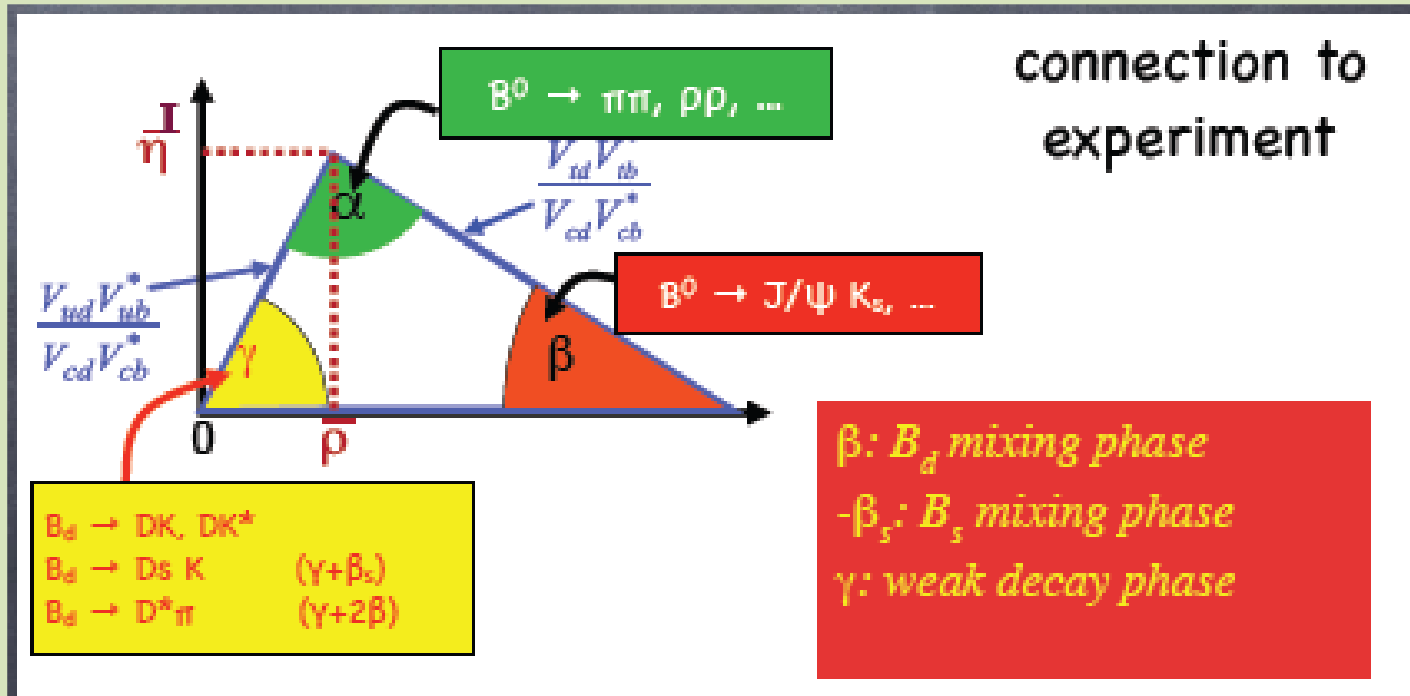
flavor



mass





Діаграма Фейнмана – перехід через слабку взаємодію



Flavour – Theorie von Cabibbo, Kobayashi und Maskawa (Nobelpreis 2008)

→ Flavour Eigenzustände (schwache WW) sind Überlagerung der Massen Eigenzustände, verbunden durch CKM Matrix

- CKM Matrix ist complex and unitär:
  - 4 unabhängige Parameter
  - 3 Winkel + 1 Phase → CKM Dreieck

T. Maskawa
M. Kobayashi

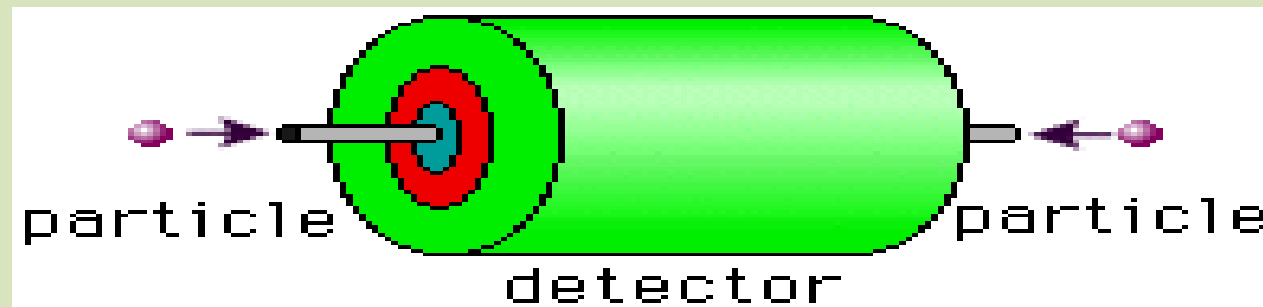
Ulrich Kerzel (CERN)



## Два типи експериментів в фізиці високих енергій



**Fixed Target:** В експериментах з фіксованою мішенню продукти взаємодії летять переважно вперед. Тому детектор має вигляд конуса-піраміди і розташовується в напрямку бомбардуючого пучку («форвардний спектрометр»)



**Colliding Beams:** В колайдерному експерименті продукти летять в усіх напрямках, тому детектор має вигляд циліндра ('barrel').

LHC – генератор КРАСИВИХ (b-beauty), ЧАРІВНИХ (c-charm), ДИВНИХ (s-strangeness) та інших зразків матерії.

4 головних експерименти на LHC:  
ATLAS, CMS, ALICE, LHCb.

Цілі 4х експериментів в ЦЕРН.

## Towards physics at CERN with LHC

pp, B-Physics,  
CP Violation

LHC : 27 km long  
100m underground

General Purpose,  
pp, heavy ions

Heavy ions, pp

**ATLAS**  
Electromagnetic Calorimeters  
Solenoid  
Forward Calorimeters  
End Cap  
Barrel Toroid  
Inner Detector  
Hadronic Calorimeters

**CMS**  
vacuum chamber  
central detector  
electromagnetic calorimeter  
hadronic calorimeter  
superconducting coil  
return yoke  
muon chambers

**ALICE**

**CMS**  
Detector characteristics  
Width: 22m  
Diameter: 13m  
Height: 14.5m  
**+TOTEM**

# ЛНС (CERN) - генератор КРАСИВИХ (b-beauty flavored) адронів (B- мезони, $\Lambda_b$ – баріони), ЧАРІВНИХ (c-charm flavored) адронів та іншої матерії.

Новий простір знань на ЛНС.

Енергія - $10^{13}$  еВ; Відстані –  $10^{-18}$  м; Час –  $10^{-25}$  с. Нові форми матерії, ...

Головні риси науково-технічних досягнень на ЛНС:

## Collider mode

- Large b cross section ( $\sim 500 \mu\text{b}$ )
- Large  $\sigma_{bb} / \sigma_{\text{inelastic}}$  ( $> 10^{-3}$ ),
  - ✓ at fixed target energies  $\rightarrow 10^{-6}$
- $\approx \sigma_{cc} / \sigma_{\text{inelastic}}$  at fixed target energies
- **КРАСИВИ b-hadrons** ( $B_u, B_d, B_s, B_c, \Lambda_b, \Sigma_b, \Xi_b$  etc.)
  - Many primary particles  $\rightarrow$  well defined b production vertex
- Large boost, i.e. b-flight length O(cm)
  - better decay time resolution for  **$B_s$  oscillation physics**
- To fight against combinatorial backgrounds:?
  - **vertexing, PID, and mass resolution**

**У 2015 році вперше в історії науки**

**досягнуто енергію протон-протонних зіткнень 13 TeV.**

**Це відкриває можливість спостереження нових явищ та виміру характеристик теоретично передбачуваних кваркових процесів в новому енергетичному просторі.**

**Новий простір знань на Великому Адронному  
Колайдері в ЦЕРН (Енергія - $10^{13}$  еВ; Відстані –  $10^{-18}$   
м; Час –  $10^{-25}$  с; нові форми матерії , ... ) :**

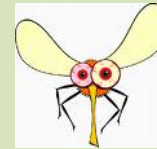
- Нові енергії взаємодії
- Нові взаємодії
- Новий масштаб простору
- Новий масштаб часу
- Нові об'єкти досліджень
- Нові форми матерії
- Нові експериментальні засоби досліджень
- Нові ... ?



# Енергія 13 TeV -?

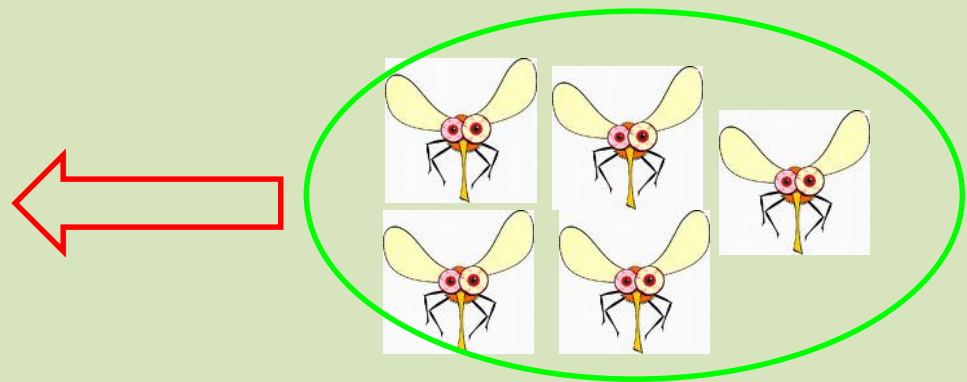
Кожен з протонів на колайдері в ЦЕРН має 6.5 TeV ( $10^{-6}$  Дж.)

Це енергія атакуючого комарика !



Але ! В кожному із пучків циркулює понад  $10^{14}$  протонів.  
Тому повна енергія пучка - біля 400 МДж !

Таку ж енергію має вибухівка (TNT) масою ~ 100 кг  
(або середній авіаносець ...)



# Де взяти зразки кваркової матерії для досліджень

Звичайної (up/down), Дивної (s-strange), Чарівної (c-charm), Красивої (b-beauty) та Величної (t-top) ... ?

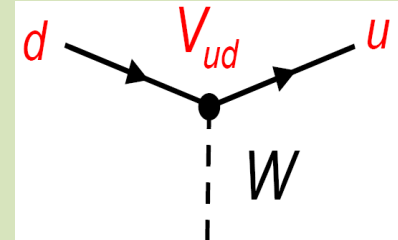
... На LHC в зіткненнях звичайних ядер при високих енергіях – через перетворення їхніх складових (партонів-кварків, глюонів)

із зміною квантового числа – «аромат»:

Передбачення Стандартної моделі по імовірностям таких процесів відзначені Нобелівською премією 2008 р.

$$\begin{pmatrix} d' \\ s' \\ b' \end{pmatrix} = \begin{pmatrix} u & \text{■} & \text{■} & \text{■} \\ c & \text{■} & \text{■} & \text{■} \\ t & \text{■} & \text{■} & \text{■} \end{pmatrix} \begin{pmatrix} d \\ s \\ b \end{pmatrix}$$

Сабібо-Кобаяші-Маскава (СКМ) - матриця



Процес переходу від  $u$ -кварку до  $d$ -кварку.

Амплітуда переходу  $V_{ud}$ .  
 $W$  –квант електро-слабкого поля

## Фізичні цілі LHC :

- Mass of particles ...  
Як відбувається утворення маси частинок ?...
- Стандартна Модель :
  - Має бути Нове поле, в якому частинки акумулюють масу. Ті частинки, які взаємодіють сильно з цим полем, стають важкими. Ті, що взаємодіють слабо, стають легкими ...
- Носіями ( квантами) цього поля мають бути так звані “Бозони Хіггса” , передбачені теорією (СМ) і спостережені.
- Експерименти на Великому Адронному Колайдері (LHC, ЦЕРН) – ATLAS, CMS ... націлені на пошук бозонів Хіггса (нових частинок, їх може бути і декілька (як у випадку квантів слабкої взаємодії -  $W^+$ ,  $W^-$ ,  $Z^0$  ).

**Початок ери  
Великого Адронного Колайдера (2008 рік)  
Одна із головних цілей – пошук бозонів Хіггса**



Серед шукачів нових явищ є і наші українці –  
Олександр Охріменко, ВФВЕ ІЯД НАН України.

Експеримент LHCb – “CP violation, ...”



# 4 липня 2012 р. ЦЕРН. Бозон Хіггса спостережено !



**ATLAS spokesperson Fabiola Gianotti:**

*"We observe in our data clear signs of a new particle, at the level of 5 sigma, in the mass region around 126 GeV.*

**Fabiola Gianotti**

**з 2016 р. – Генеральний директор ЦЕРН.**



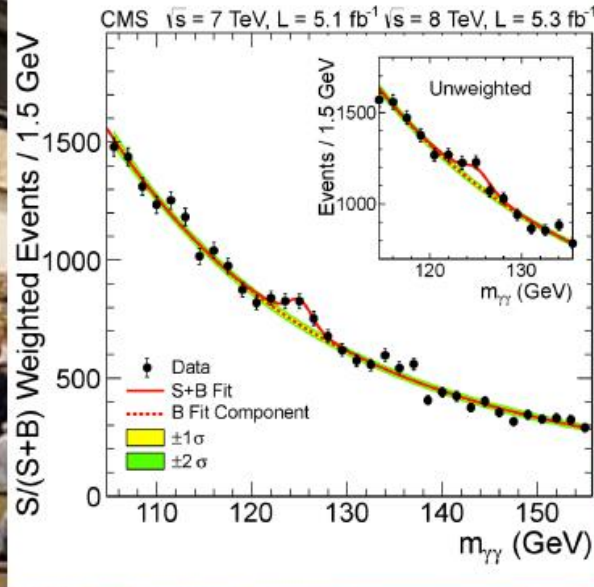
**Phys. Rev. Lett. 13, 508–509 (1964)  
Broken Symmetries and the Masses of Gauge  
Bosons.**

[Peter W. Higgs](#)

**Поле, в якому частинки акумулюють масу. Ті частинки, які взаємодіють сильно з цим полем, стають важкими. Ті, що взаємодіють слабо - легкими...**

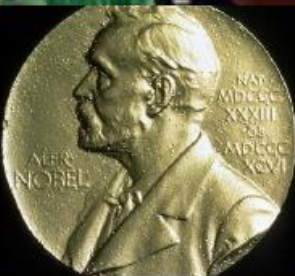
# Краса наукового відкриття

Phys. Lett. B716 (2012)

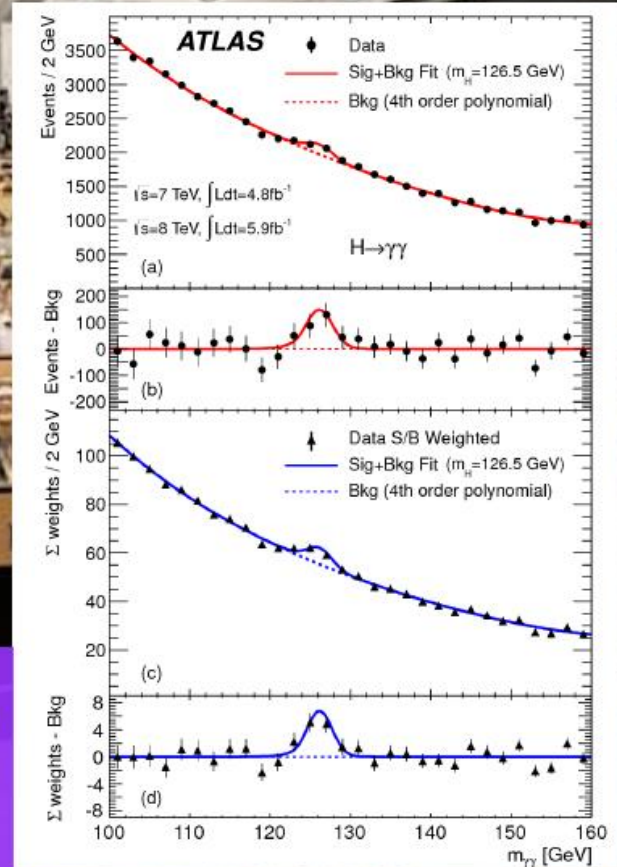


“This result constitutes evidence for the existence of a new massive state that decays into two photons.”

“Clear evidence for the production of a neutral boson ...is presented.”



- In Runs 2-3-4-5 of the LHC...and future machines
- Continue to measure its properties
- Is it alone?



ts for BSM Higgs Boson Searches at Future Colliders', Charged2014, Uppsala Sept. 18 2014

## Властивості ядерної матерії, характерні для атто-метрового простору

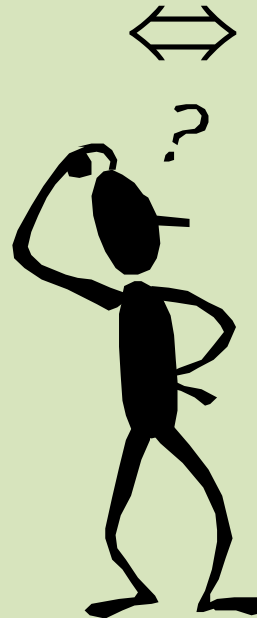
Енергетичний діапазон LHC до 13 TeV в протон-протонних зіткненнях

- Нова фізика (взаємодії, частинки, форми матерії, ...) ?

В експерименті LHCb - дослідження відмінностей в еволюції розпадів матерії та анти-матерії (прецизійні виміри CP-порушень в розпадах важких мезонів) а також їх рідкісних мод розпаду, модифікація яких теоретично можлива процесами за межами Стандартної Моделі (SM).

## Проблема баріогенезису ...

Порушення CP парності у розпадах каонів може бути пояснене в рамках Стандартної Моделі.



Порушення CP парності у Всесвіті не може бути пояснене в рамках Стандартної Моделі

*Експеримент LHCb* націлений на пошук порушення CP парності за межами Стандартної Моделі, використовуючи **B-мезони**.



## Фізичні цілі LHCb

- Природа асиметрії між матерією та анти-матерією.
- Дослідження фізики ароматів (The physics of flavor).
  - СКМ матриця & трикутник унітарності
  - Порушення CP симетрії в розпадах B – мезонів
  - Осциляції B – мезонів
  - Пошук фізики за межами SM
  - Рідкісні моди розпаду B – мезонів
  - Спектроскопія важких адронів – пошук нових резонансів, кваркових структур , ...

## LHCb 21st Anniversary, CERN. Nov. 5, 2016

### LETTER OF INTENT

A Dedicated LHC Collider Beauty Experiment  
for Precision Measurements of CP-Violation

CERN/LHCC 95-5  
LHCC/ I 8  
25 August 1995

Last update  
28 March 1996

# LHC-B

В числі членів LHCb Колаборації – вчені двох інститутів з України:

#### **Imperial College, London, U.K.**

A. Duane, A. Howerd, I. Last, J.G. McEwen<sup>3</sup>, D. Websdale

#### **University of Oxford, Oxford, U.K.**

N. Harnew, F. Harris, T. Hessian, G. Wilkinson

#### **Institute of Physics and Techniques, Kharkov, Ukraine**

Yu.N. Ranjuk, P.V. Sorokin

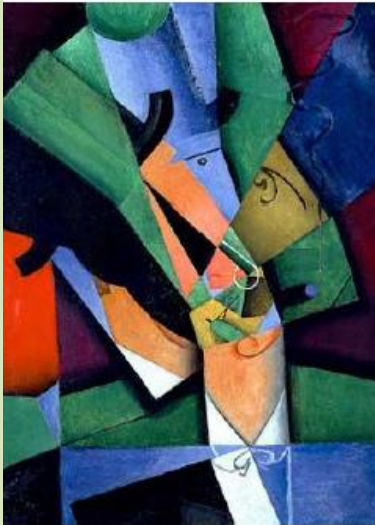
#### **Institute for Nuclear Research, Kiev, Ukraine**

V.E. Aushev, A.A. Klipenstein, I.N. Kolomiets, V.I. Medvedev, Yu.N. Pavlenko, V.M. Pugatch, N.M. Tkatch, V.V. Zerkin

**ІЯД НАН України (Київ) – 8 чол. , ХФТІ (Харків) – 2 чол.**

## Фізичні цілі експерименту LHCb

Strange production



Open and hidden  
charm production



Open and hidden  
beauty production



By V. Egoritchev, LHCb

## Красиві (Beauty), Чарівні (Charm), Дивні (Strange) events in LHCb



- 100,000  $b\bar{b}$  pairs produced per second
- $b\bar{b}$  pairs produced at low angle in the same forward or backward cone

$10^{11}$  протонів в кожному з понад 2000 банчів зіткнулись при 7 та 8 TeV у 2011 та 2012 р.р.

**13 TeV у 2015 та 2016 р.р.**

**світимість IP-8 (LHCb)**

$$(2-4) * 10^{32} \text{ cm}^{-2} \text{ s}^{-1}$$

В кожному р-р зіткненні утворюється біля 1500 заряджених частинок :

- Високі радіаційні навантаження
- Необхідність попереднього відбору подій

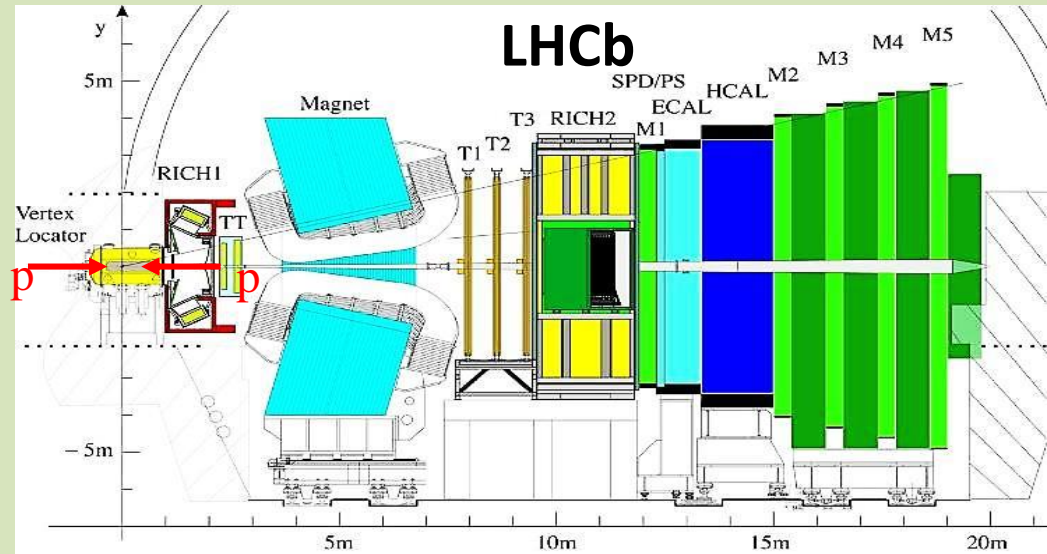
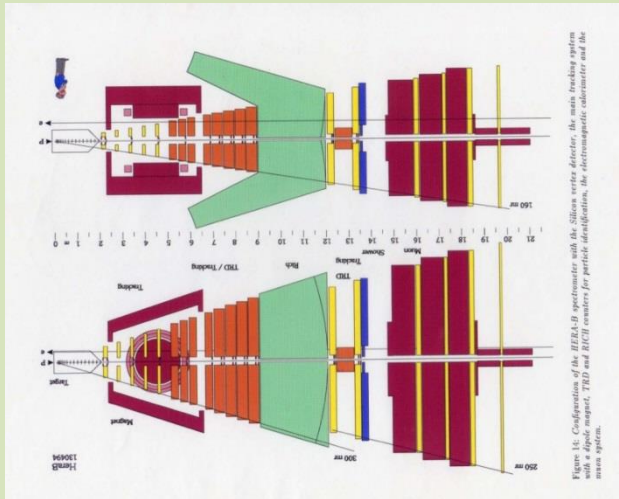
### Нова Фізика

Може модифікувати характеристики порушення CP симетрії та рідкісних мод розпаду важких адронів через її вклад в петльових діаграмах



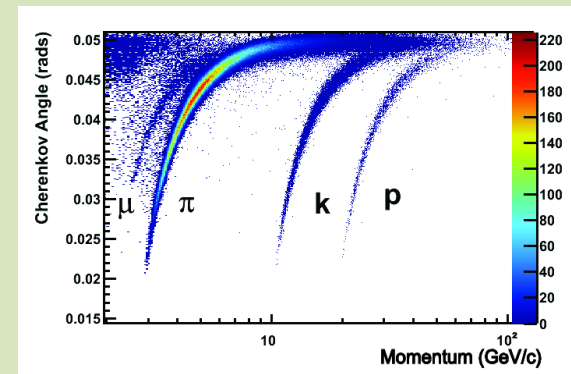
ІЯД НАН України в дослідженнях  
 властивостей красивої та чарівної матерії.  
 HERA-B - dedicated B-physics experiment (1992 – 2003).  
 800/920 GeV proton beam at fixed target .DESY (Hamburg)

HERA-B. 1994 - 2003



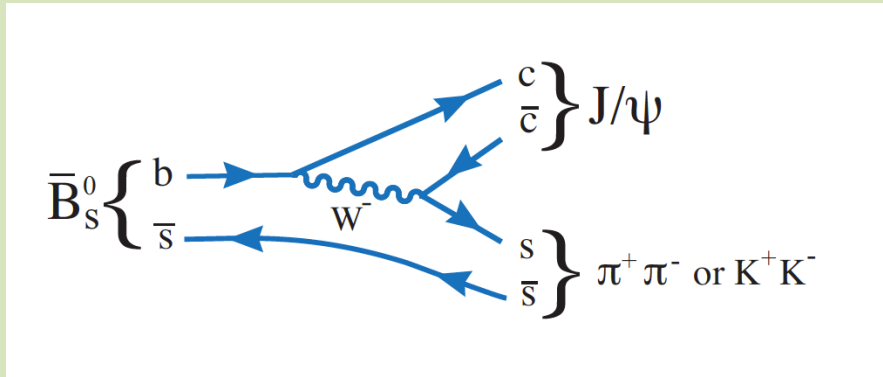
ІЯД НАН України – участь в створенні  
 першої в світі 8-точкової системи  
 ядерних взаємодій.

V. Aushev, Yu. Pavlenko, S. Prystupa,  
 Yu. Pylypchenko, V. Pugatch,  
 N. Tkach, Yu. Vasiliev, V. Zerkin

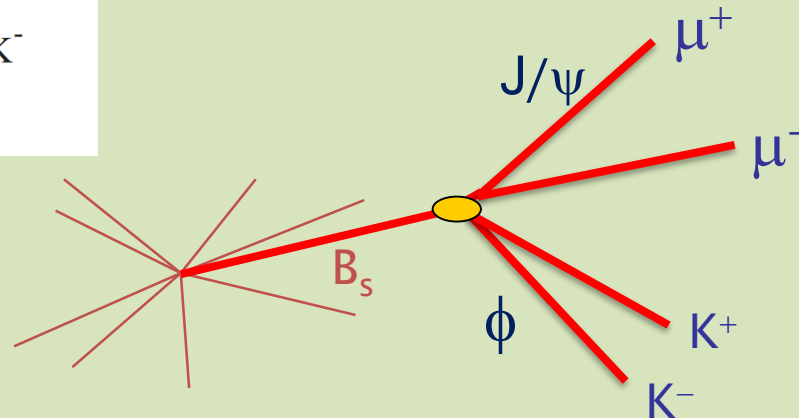




**Фізико-технічні аспекти  
конструкції детектора LHCb:  
визначаються вимогами до реконструкції  
досліджуваних фізичних подій**



- $B_s \rightarrow J/\psi \Phi$  and  $B_s \rightarrow J/\psi \pi \pi$
- Чисті канали розпаду
- Прозора ідентифікація

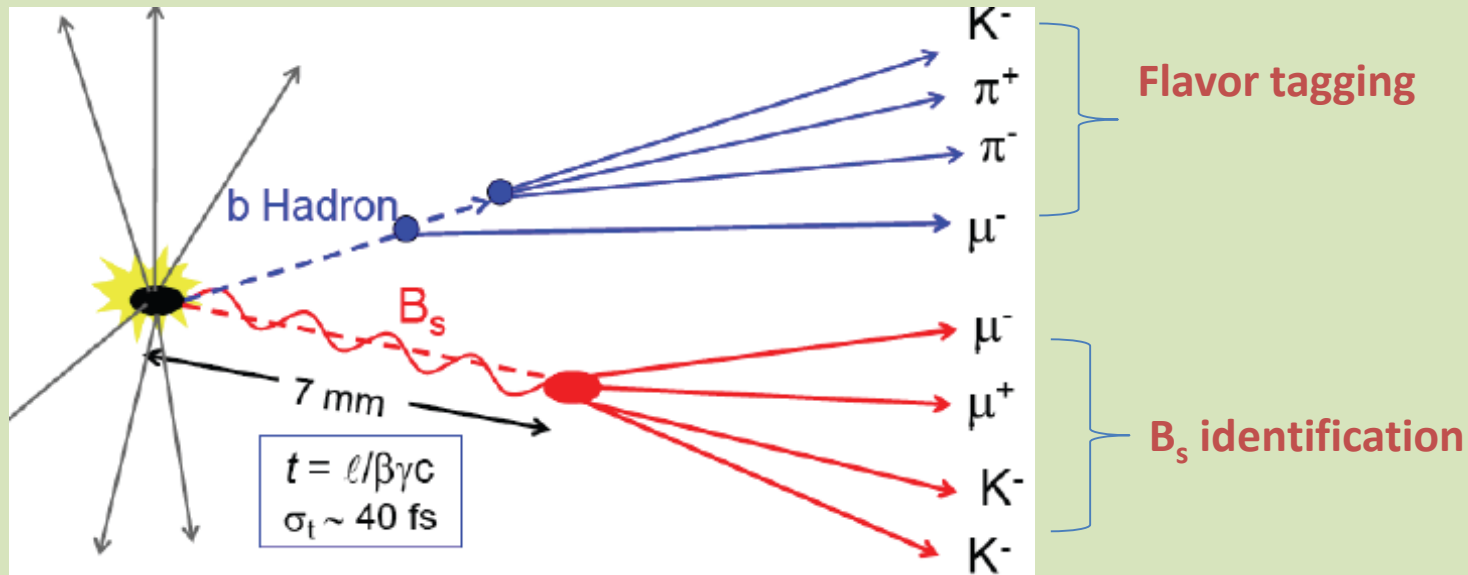


**Порушення CP-парності  
в розпадах важких мезонів**

**В – фізика.**

**Реконструкція розпадів В-мезонів**

# Реконструкція подій з красивими мезонами в LHCb



- Ефективний тригер для відбору продуктів розпаду  $B$  мезонів
- Чітке виділення вторинних вершин – можливість дослідження осциляцій  $B$  мезонів з роздільною здатністю по часу - 40 fs.
- Подавлення фону завдяки:
  - Висока роздільна здатність по інваріантній масі ( $\sim 14 \text{ MeV}/c^2$ )
  - Довершена ідентифікація типу частинок
  - Зміна напрямку магнітного поля (усунення штучної асиметрії)

## Фізико-технічні принципи побудови детекторних систем ФВЕ.

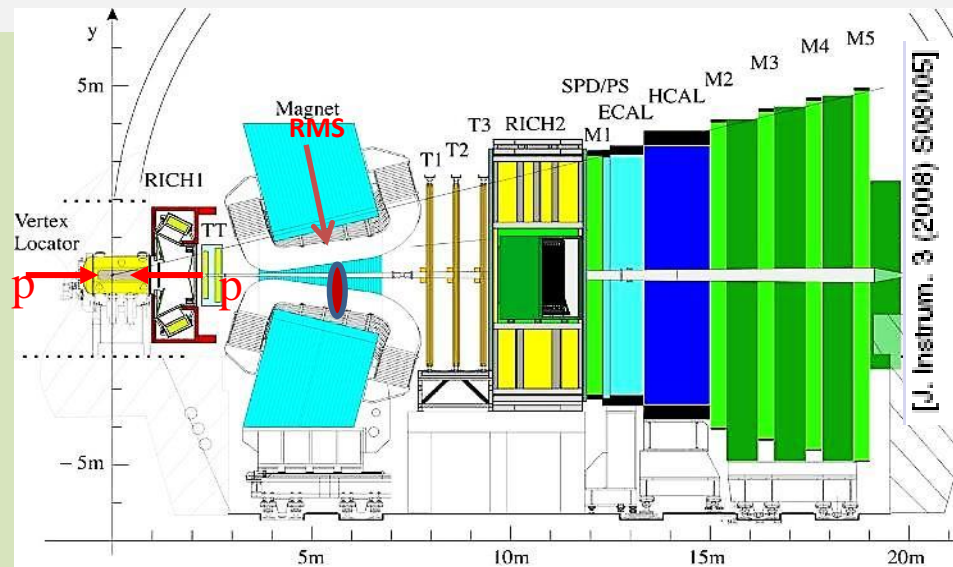
- Модульний принцип конструкції.
- Роздільна здатність (просторова, часова, амплітудна, тощо).
- Швидкодія.
- Радіаційна стійкість.
- Довготривала надійність в умовах низьких температур, електромагнітних наводок , тощо.
- **Технічне завдання на детекторні модулі визначається фізичними цілями та оптимізацією з урахуванням сучасних детекторних технологій та техніко-економічним базисом колаборації.**

# The LHCb experiment

LHCb детектор –  
форвардний спектрометр  
з відмінними характеристиками

- Аксептанс  $2 < \eta < 5$
- Роздільна здатність по імпульсу  $\sim 0.5 \%$
- Ефективність реконструкції треків  $> 96 \%$
- Роздільна здатність по прицільному параметру  $\sim 20 \mu\text{m}$
- Роздільна здатність по часу розпаду:  $\sim 45 \text{ fs}$
- Роздільна здатність по інваріантній масі:  $\sim 14 \text{ MeV}/c^2$
- Відмінна ефективність ідентифікації частинок  $> 90\%$

**LHCb: The Large Hadron Collider Beauty Experiment for Precise Measurements of CP-Violation and Rare Decays**



**Інтегрована світимість (p-p зіткнення)**

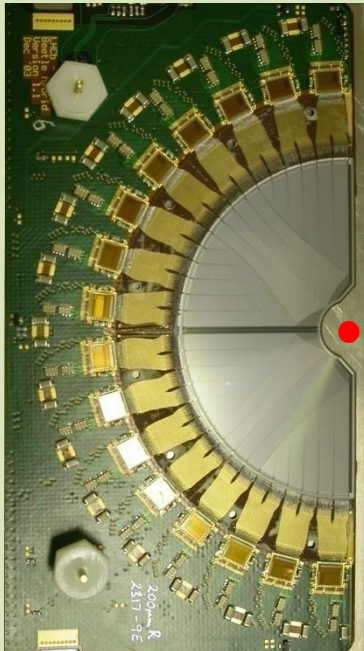
2011:  $1.0 \text{ fb}^{-1}$  @ 7 TeV

2012:  $2.0 \text{ fb}^{-1}$  @ 8 TeV

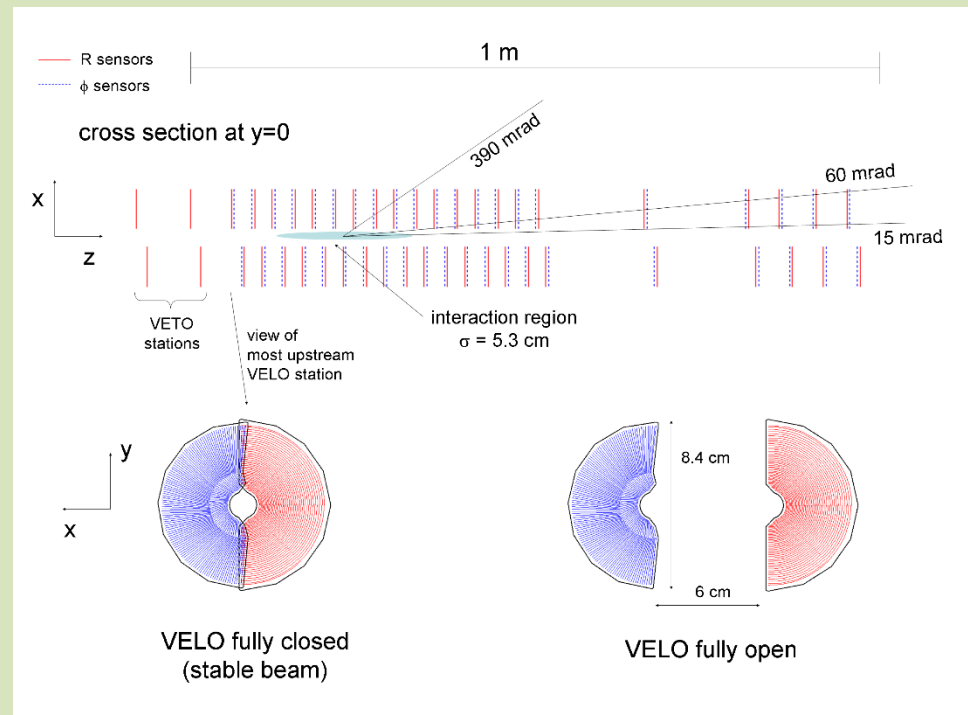
2015, 2016:  $1.9 \text{ fb}^{-1}$  @ 13 TeV

## Вершинний детектор (VELO – VErteX LOcator)

- Вершинний детектор побудовано на основі кремнієвих мікростріпових сенсорах з  $r\phi$  геометрією (стріпи - радіальні та концентричні кола).
- Рухомі платформи наближають сенсори до 8 mm від осі пучка протонів – всередині складної системи вторинного вакууму.
- За характеристиками найкращий в світі – забезпечує роздільну здатність по часу  $\sim 40$  fs (важлива величина для дослідження осциляцій  $B_s$  розпадів)



Beam

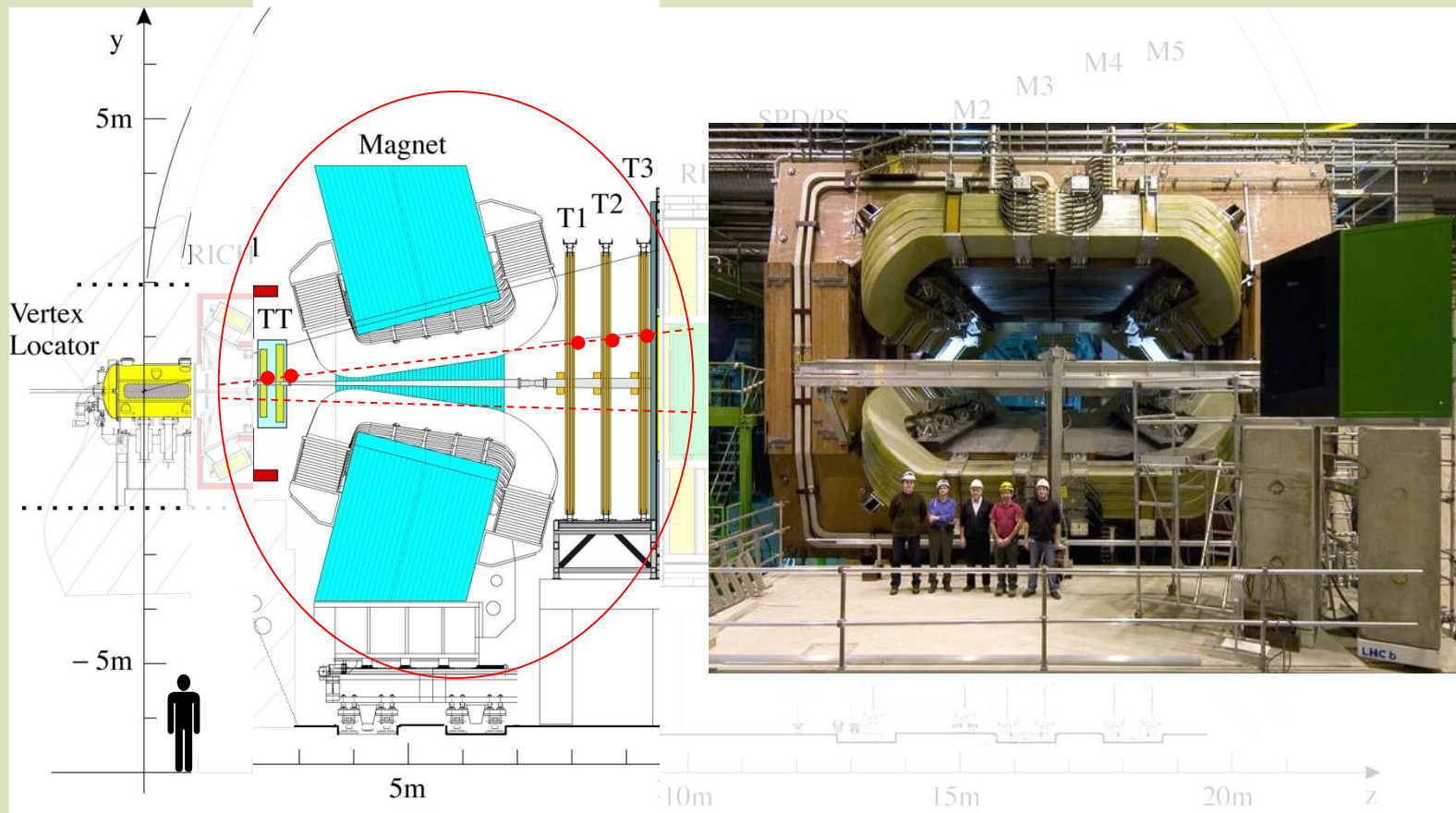


Дані з вершинного детектора

Використовуються в тригерній системі попереднього відбору подій



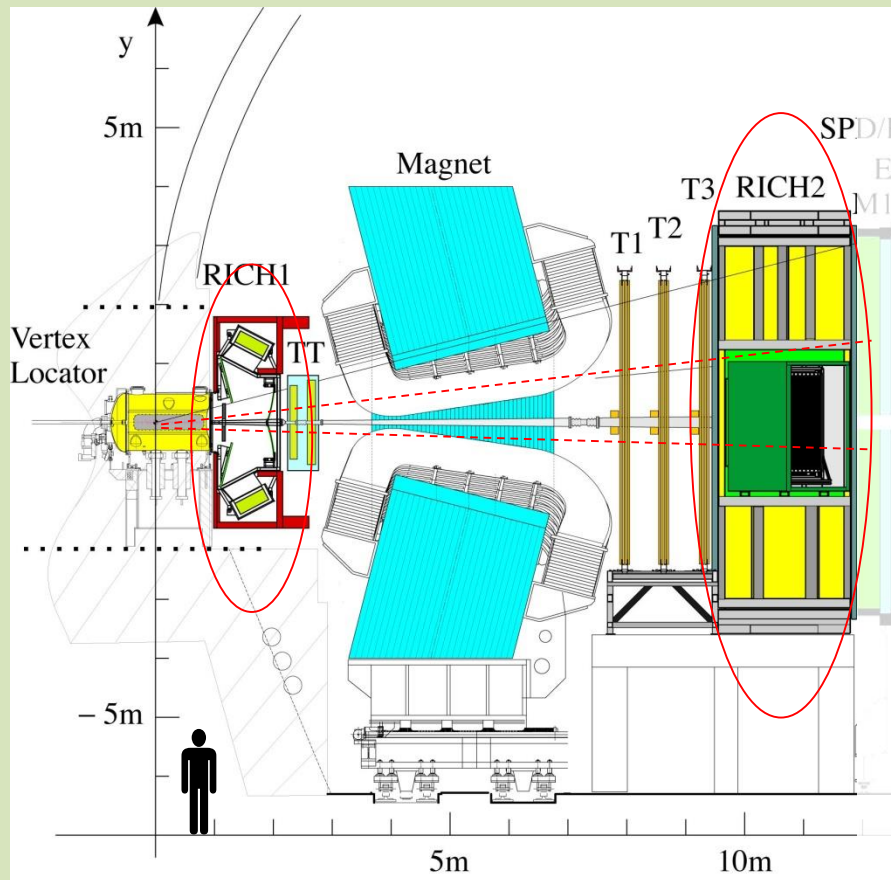
# Трекова система та дипольний магніт LHCb



Трекова система та дипольний магніт призначені  
для вимірювання кутів та імпульсів заряджених частинок :

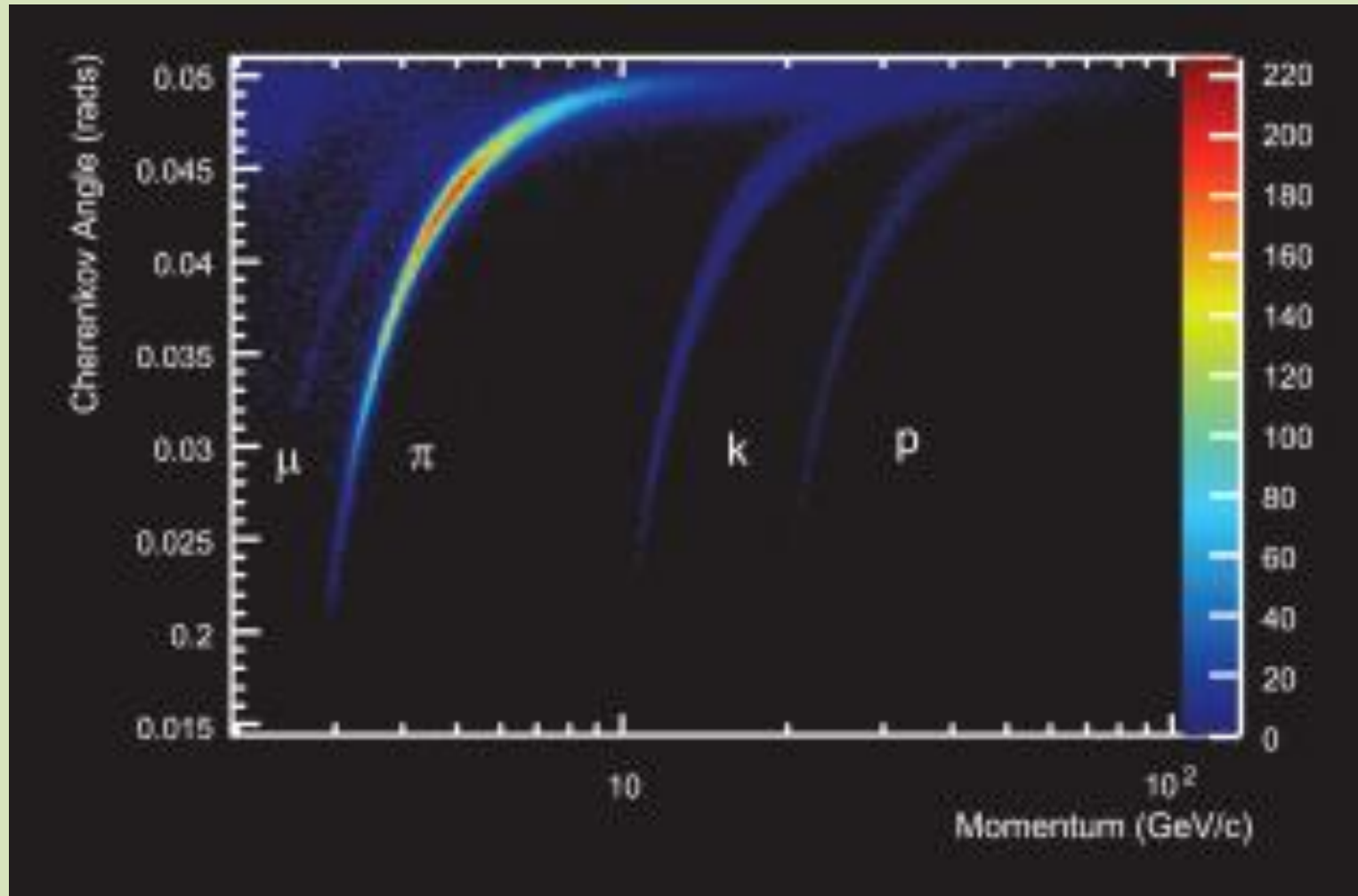
$\Delta p/p \sim 0.4 \%$ , роздільна здатність по інваріантній масі  $\sim 14 \text{ MeV}/c^2$  (for  $B_s \rightarrow D_s K$ )

## Система ідентифікації сорту частинок – Черенковські детектори



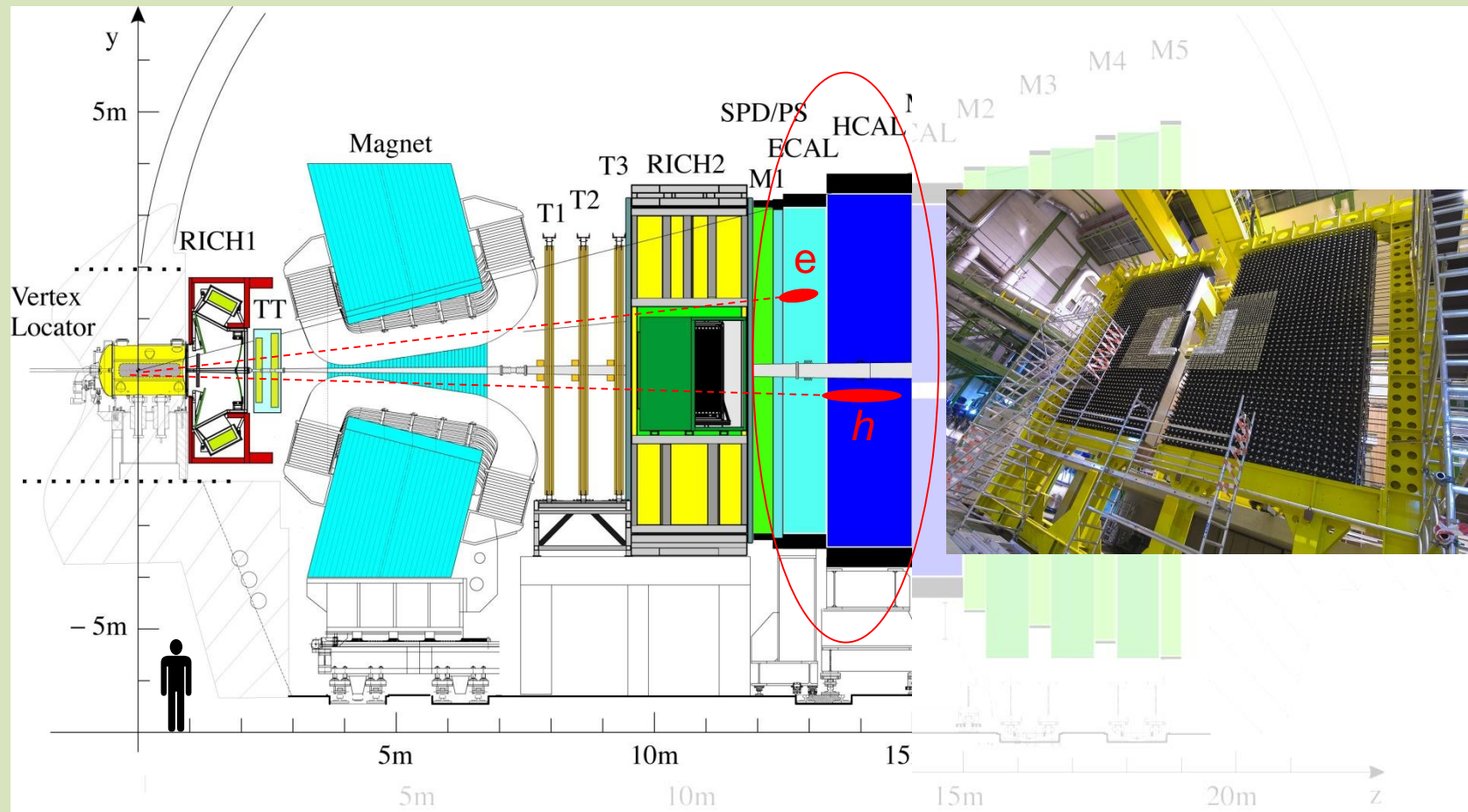
**Два черенковських детектори виконують ідентифікацію типу частинок (обведені червоними еліпсами)**

Висока ефективність ідентифікації типу частинок.  
LHCb-2013. Ring Imaging Cherenkov Identification system.



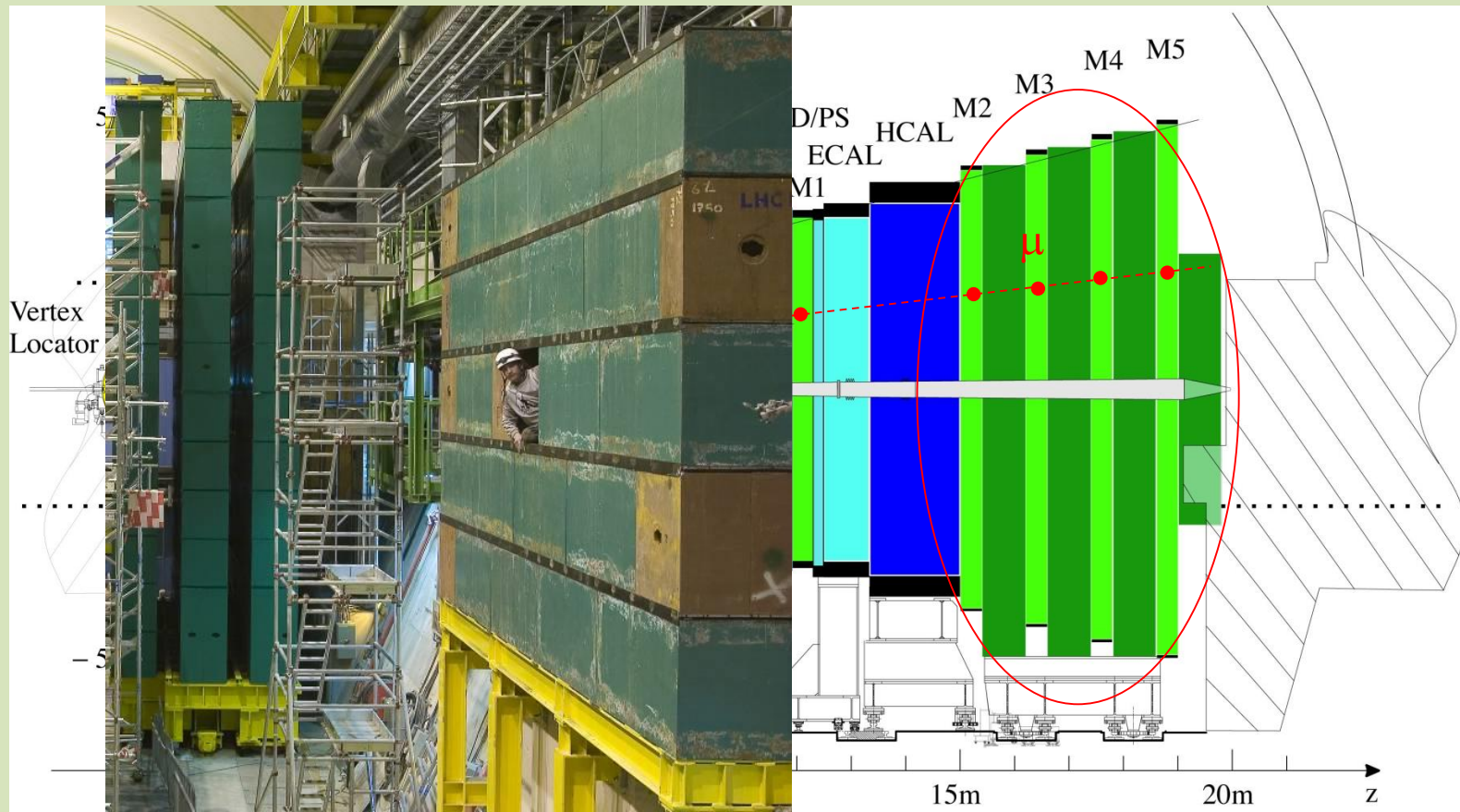


## Адронні та електро-магнітні калориметри



**Калориметри ідентифікують електрони, адрони та нейтральні частинки. Дані використовують для тригера першого рівня.**

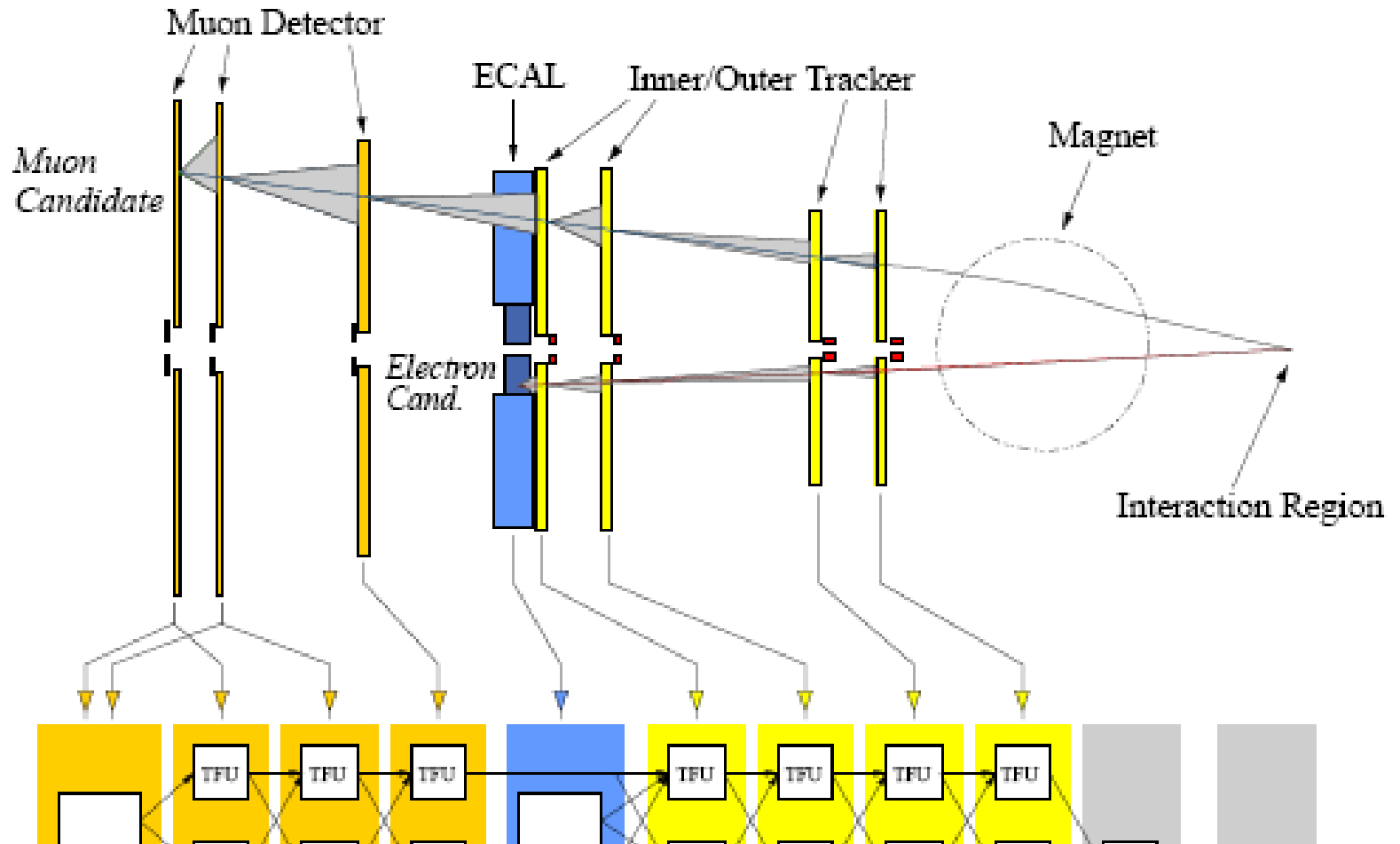
## Мюонна детекторна система



**Мюонна система ідентифікує мюони. Дані з мюонної системи також використовують в тригері першого рівня**

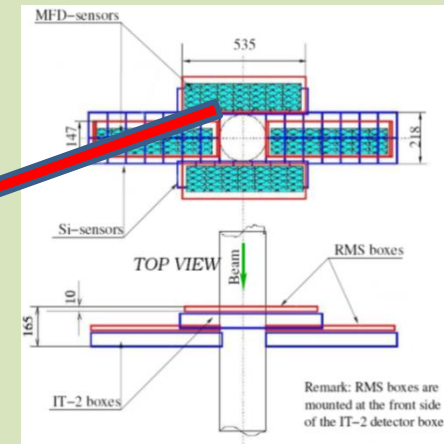
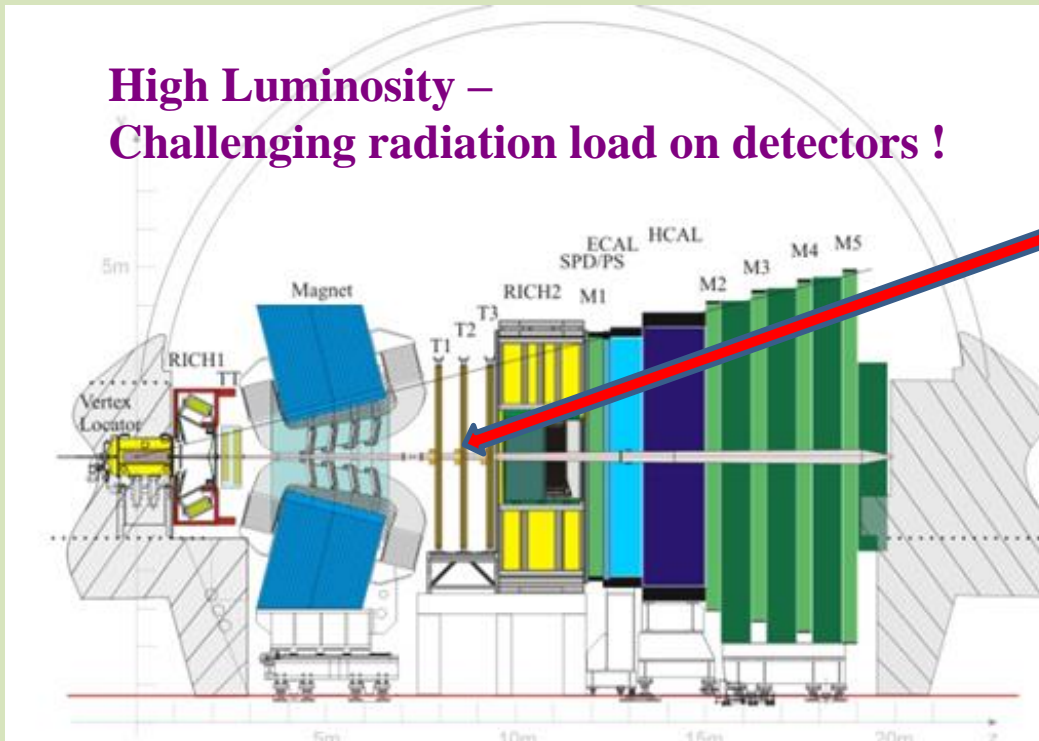


# Реконструкція мюонних та електронних треків



# Система Радіаційного Моніторингу в експерименті LHCb

High Luminosity –  
Challenging radiation load on detectors !

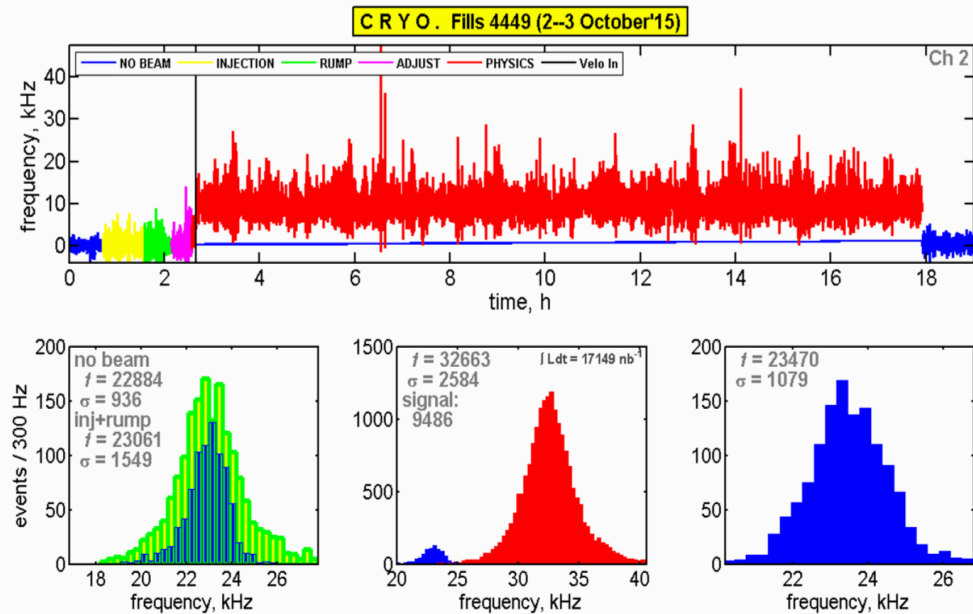
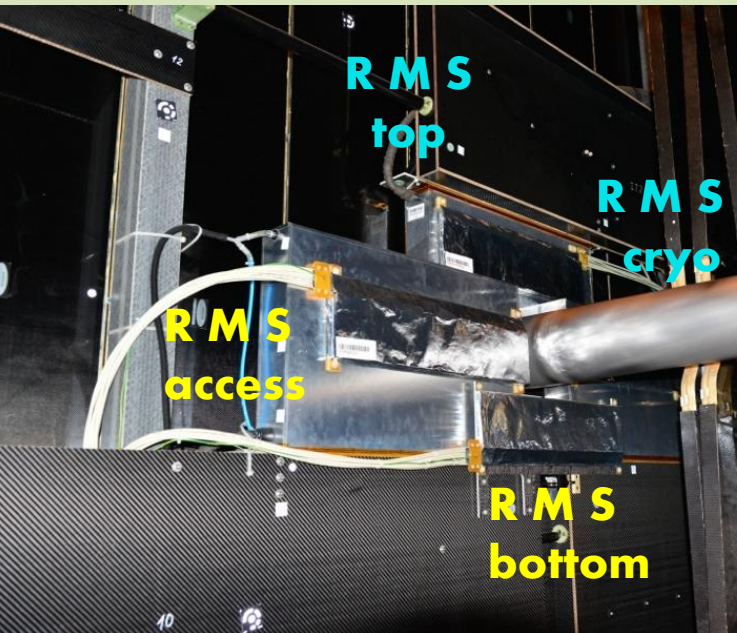


Фізичні принципи, технологія,  
Експлуатація –  
ІЯД НАН України

Створена в ІЯД НАН України Система Радіаційного Моніторингу забезпечує в реальному часі вимірювання дозових навантажень на чутливі до радіаційного впливу детекторні модулі експерименту LHCb, а також світимості експерименту.

Номінальна світимість LHC складає  $L = 10^{34} \text{ см}^{-2}\text{с}^{-1}$  для експериментів ATLAS, CMS та  $L = 3 \cdot 10^{32} \text{ см}^{-2}\text{с}^{-1}$  — для експерименту LHCb.

# Система Радіаційного Моніторингу (RMS) Протон-протонні зіткнення. Енергія 13 TeV



## Експеримент LHCb.

28 металево-фольгових сенсорів RMS навкруги Ве - іонопроводу LHC.

Фізика, Техніка, Експлуатація RMS - ІЯД НАН України

## Відгук детекторів RMS (блок «CRYO»)

Кольори –

різний статус експерименту LHCb:

Фіолетовий — ADJUST

Червоний — PHYSICS

# Кремнієві детектори в трекових системах LHCb

Institutes involved in the **LHCb Silicon Tracker**:

Max-Planck-Institut für Kernphysik, Heidelberg

LPHE, EPFL Lausanne

**KINR, National Academy of Sciences of Ukraine, Kiev**

Budker Institute for Nuclear Physics, Novosibirsk

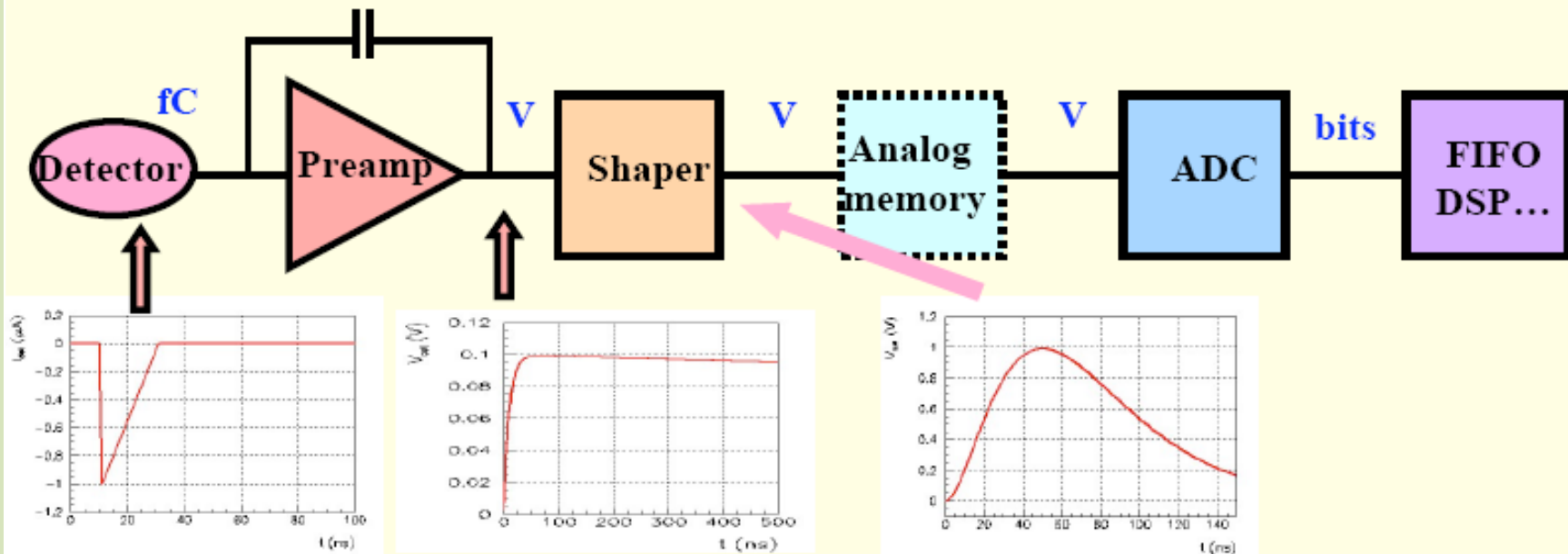
Universidade de Santiago de Compostela

Physik-Institut der Universität Zürich



## Вимірювання фізичних величин – через електричні сигнали від сенсорів

➤ Most front-ends follow a similar architecture



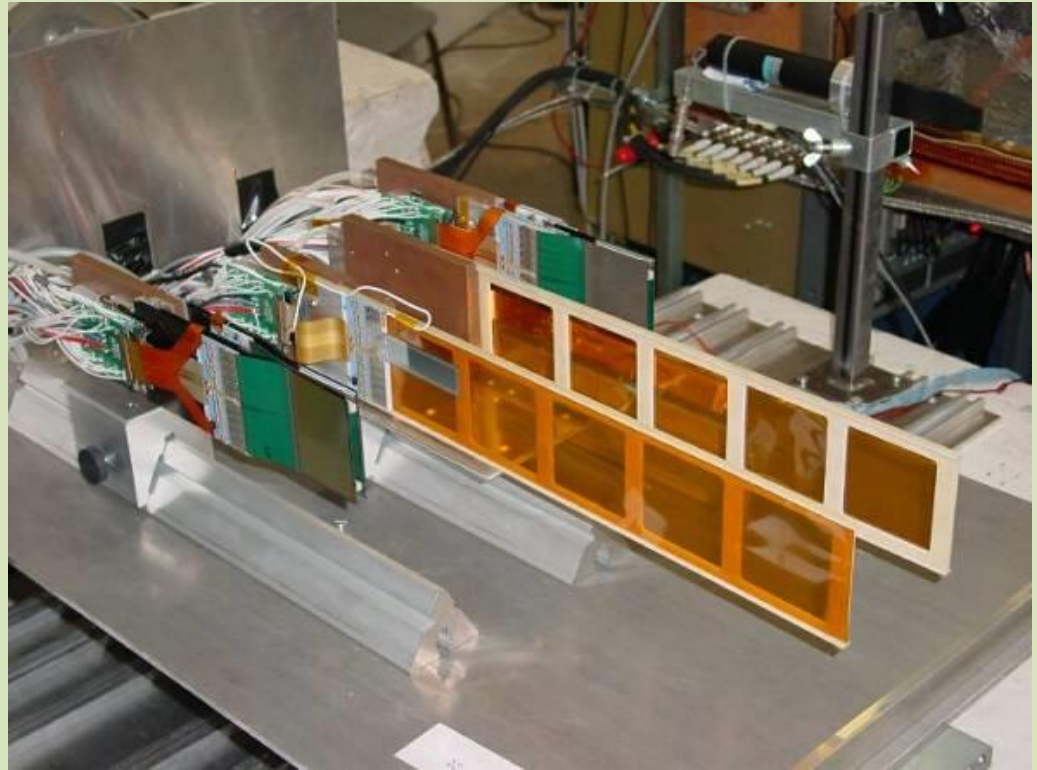
- Very small signals ( $fC$ ) -> need **amplification** and **optimisation of S/N (filter)**
- Measurement of **amplitude** and/or **time** (**ADCs, discris, TDCs**)
- Several thousands to millions of channels
- Needs time to decide to keep or not the event : **memory**



# Оцінка якості прототипів трекових системах

Дослідження прототипів  
Кремнієвих односторонніх  
мікростріпових  
детекторів (прямокутники на  
поліімідній  
плівці коричневого кольору)  
для експерименту  
LHCb (**Виробництво ін-ту  
мікроприладів, Київ**).

CERN.  
Тестовий пучок мезонів  
З енергією 15 GeV  
створює треки, що  
фіксуються  
телескопами двохсторонніх  
мікростріпових детекторів  
HERA-B (мікро-кабелі  
зеленого  
кольору).



Тригер – від сцинтиляційного детектора  
(справа – конструкція чорного кольору).

Ціль – ефективність реконструкції треків  
прототипами мікростріпових детекторів.

## Кремнієві детектори в трекових системах



Монтаж  
Кремнієвого  
Трекера для  
експеримента  
LHCb –

За участю аспіранта  
з ІЯД НАН України

# Як знайти шукану подію серед мільярдів можливих ?

## LHCb detector

JINST 3 (2008) S08005

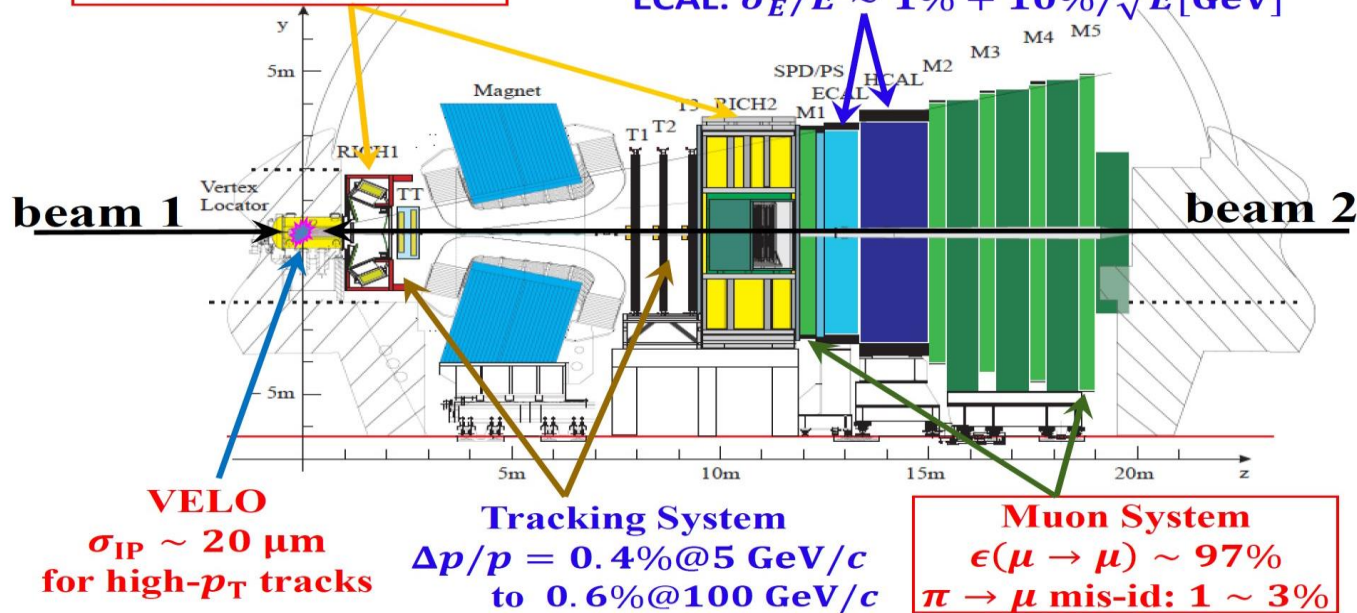
Pseudorapidity acceptance

$$2 < \eta < 5$$

**RICH1 & RICH2**  
 $\epsilon(K \rightarrow K) \sim 95\%$   
 $\pi \rightarrow K$  mis-id:  $\sim 5\%$

**Calorimeters**

$$ECAL: \sigma_E/E \sim 1\% + 10\%/\sqrt{E[\text{GeV}]}$$



Int.J.Mod.Phys.A30(2015)1530022

3

- Чітко змоделювати подію за фізичними ознаками
- Реконструювати подію із відгуків мільонів детекторних сигналів

## Фізичні величини, вимірювані в експериментах ФВЕ

- Тип частинки (заряд, маса)
- Енергія. Імпульс. Інваріантна маса
- Час життя. Ширина резонансу. Співвідношення гілок розпаду
- Спін. Орбітальний момент
- Множинність, центральність події
- Поперечні перерізи: кутові, енергетичні та часові розподіли, кореляції продуктів розпаду проміжних станів
- З аналізу даних: кути трикутника унітарності, ступінь порушення CP-парності, фактори ядерної модифікації, тощо.
- Нові фізичні величини ... ?

## На шляху до фізичних результатів

- Реконструкція події.

“Event” – «Подія» – як свідок нового явища, передбаченого теорією та реконструйованого «Монте-Карло» з урахуванням рис детекторної системи.

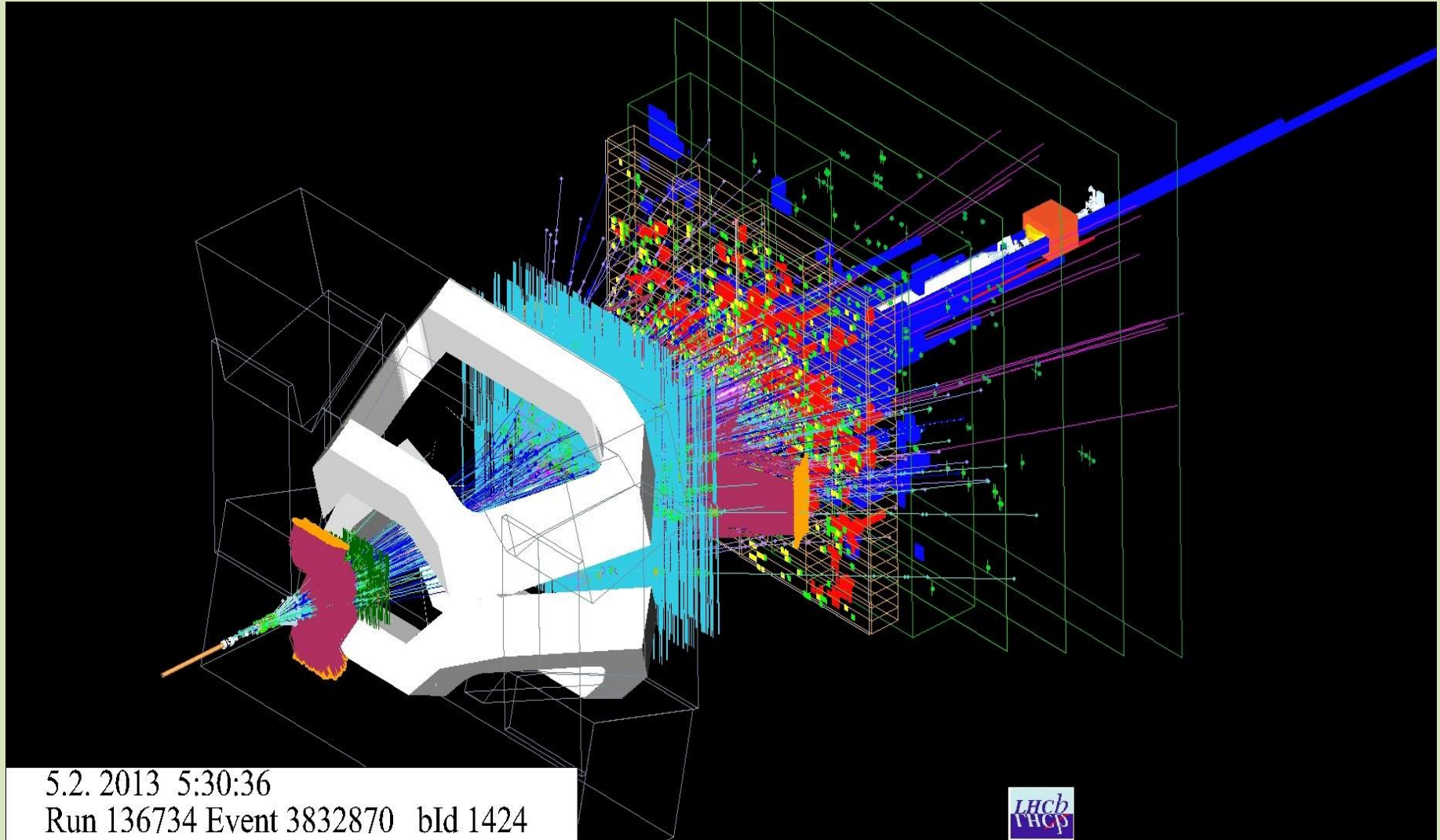
- Реєстрація події та її реконструкція включають такі кроки аналізу даних

- Ідентифікація продуктів (mass, charge, momentum, energy, spin, ...)
- Вимірювання треків – реконструкція вершин розпаду
- Кутовий розподіл
- Множинність події
- Кількість подій – поперечні диференційні перерізи
- Співвідношення гілок розпаду по різних каналам

-  Мільйони сенсорів для ефективної реєстрації хітів від частинок !



## *A typical $pPb$ interaction*



Монте Карло симуляція,  
визначення ефективності реконструкції фізичної події

**Монте Карло симуляція. Дві частини:**

- **МК генерація події** - згенеровані частинки проходять через детекторну систему
- **МК реконструкція** симульованих даних в той же самий спосіб, що використовується і для реальних даних
- Симуляція розпаду частинок і детекторна відповідність базується на програмному пакеті GEANT .
- Щоб порівняти реальні дані і дані МК реконструкції необхідно як можливо точніше описати розташування, розмір, геометричну форму і побудову спектрометра.

## CKM матриця та трикутник унітарності

Порушення CP симетрії в рамках SM описується матрицею Кабібо-Кобаяші-Маскава:

$$\begin{pmatrix} d' \\ s' \\ b' \end{pmatrix} = \begin{pmatrix} V_{ud} & V_{us} & V_{ub} \\ V_{cd} & V_{cs} & V_{cb} \\ V_{td} & V_{ts} & V_{tb} \end{pmatrix} \cdot \begin{pmatrix} d \\ s \\ b \end{pmatrix} = V_{CKM} \cdot \begin{pmatrix} d \\ s \\ b \end{pmatrix}$$

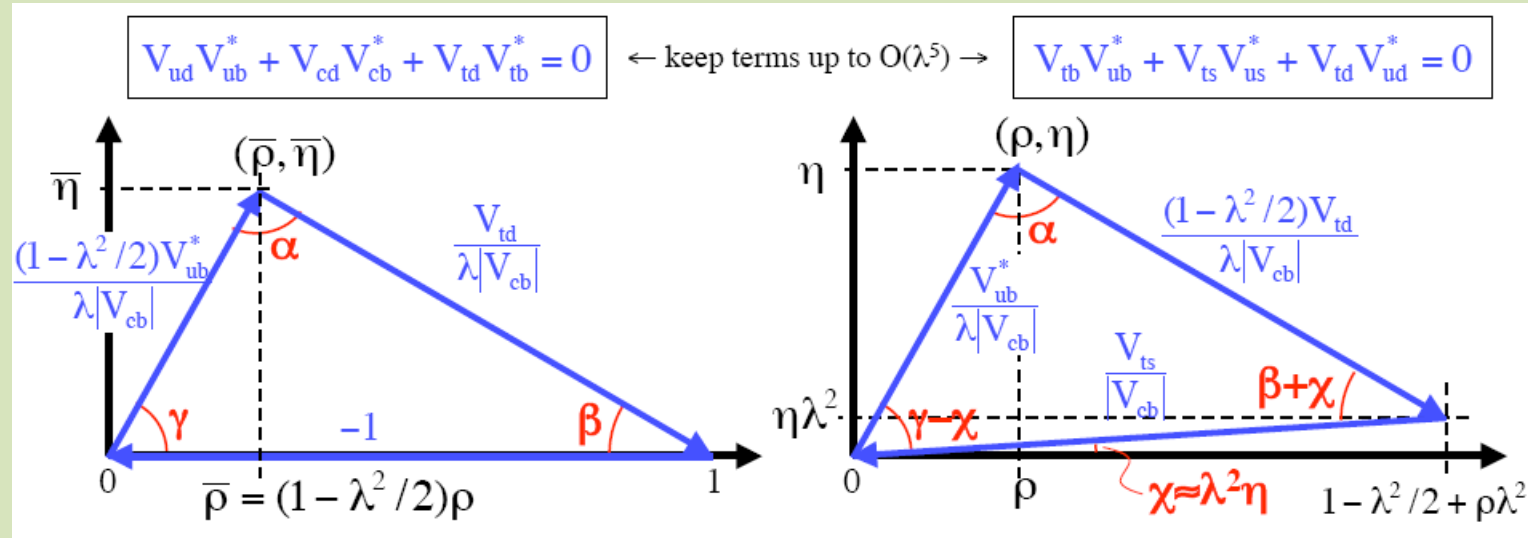
CKM матриця в параметризації Вольфенштейна

$$\lambda = s_{12}, \quad A = \frac{s_{23}}{\lambda^2}, \quad \rho + i\eta = \frac{s_{13}e^{i\delta_{13}}}{A\lambda^3}$$

$\delta_{13}$  is the CP violation phase

$$s_{ij} = \sin \theta_{ij}$$

CKM матриця описує імовірність переходу кварка одного типу в інший, імовірність переходу  $|V_{ij}|^2$ .  
Замкнутість **трикутника унітарності** означатиме довершенність SM.



# Реконструкція подій. Аналіз даних.

## Фізичні висновки.



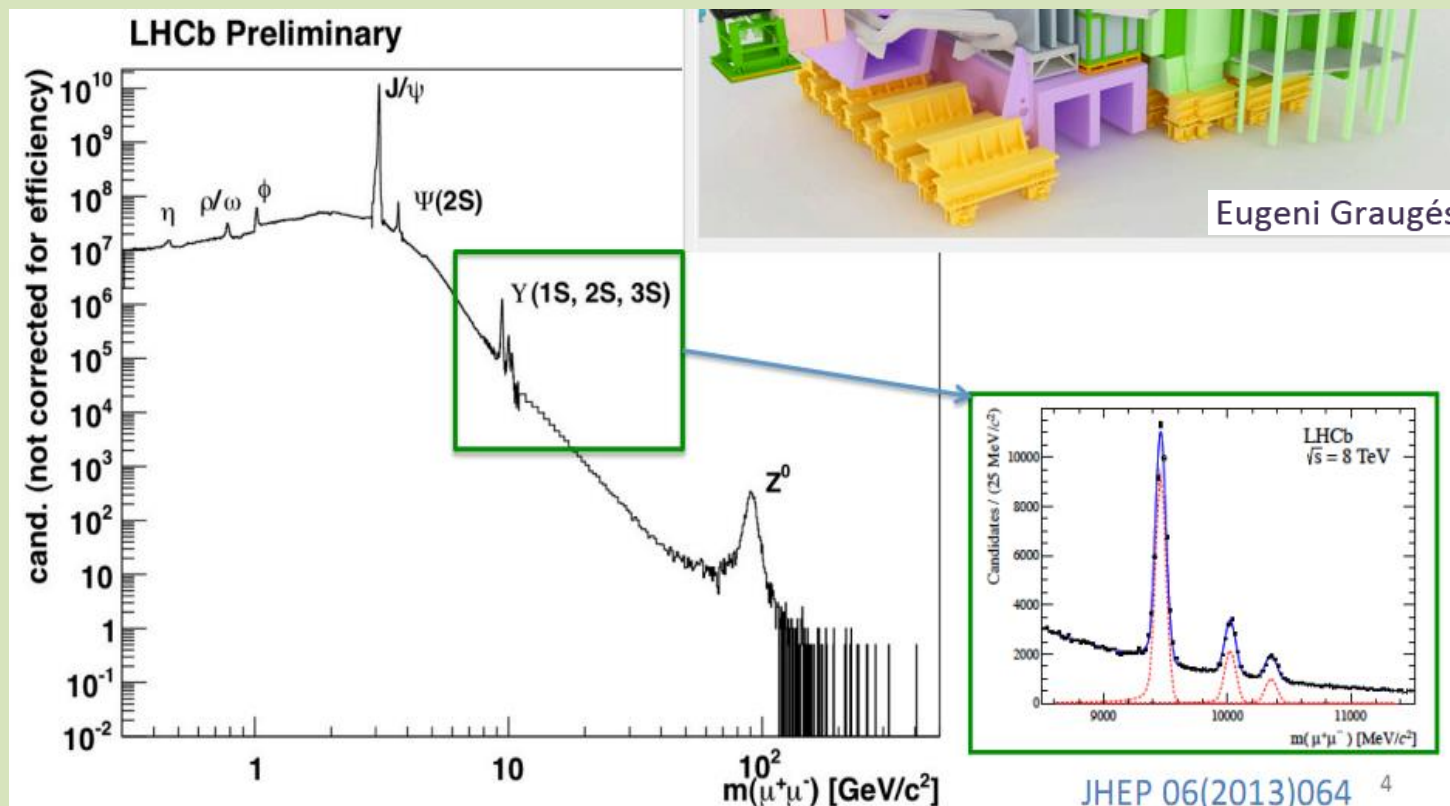
Вольтер. “Філософські роздуми”, 1686 р.

Філософи, які створюють теорію будови Всесвіту, схожі з нашими мандрівниками, які їздять в Константинополь а потім розповідають про Сералі.

Сераль вони бачать тільки зовні, і все ж думають, що знають, що робить там султан із своїми фаворитками.

**Voltaire,**  
pseudonym of **François-Marie Arouet**  
(born November 21, 1694, [Paris, France](#)—died May 30, 1778, Paris),  
one of the greatest of all [French](#) writers.

Спектроскопія – довершене знаряддя досліджень та пошуку «Нового»



Роздільна здатність по інваріантній масі :  $\sim(10-20)$  MeV/c<sup>2</sup>

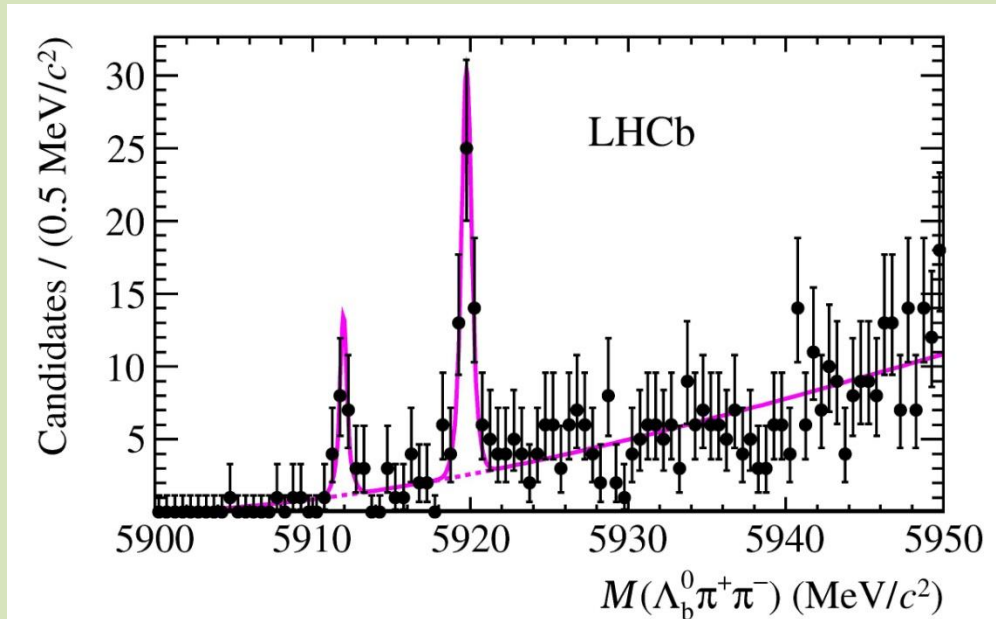
Висока енергія зіткнень ядер на LHC призводить до зростання інтенсивності генерації важких адронів на кілька порядків у порівнянні із лептонними колайдерами.

Всі b- адронні зразки матерії були спостережені (окрім з t- кварком)



Spectroscopy - a perfect tool  
for searching "NEW".

## Спостереження збуджених станів баріонів $\Lambda_b$

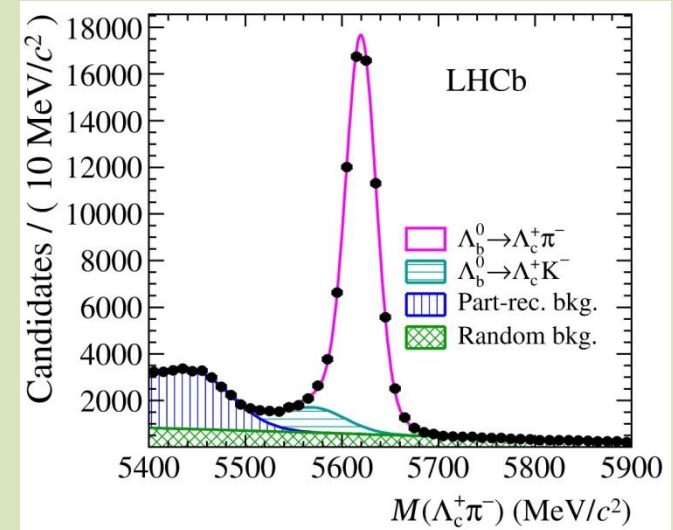


Excited states are known for the  $\Lambda$  and  $\Lambda_c$ .

Two excited states of  $\Lambda_b$  (at 5911.95 and 5919.76 MeV/c²) were observed for the first time in the  $\Lambda_b^0 \pi^+ \pi^-$  mass- spectrum.

Uncertainties are less than 1 MeV/c².

Discrepancies with theories reach 20 – 30 MeV/c²



$\Lambda_b$  reconstructed  
in the  $\Lambda_c^+ \pi^-$  invariant mass  
spectrum.

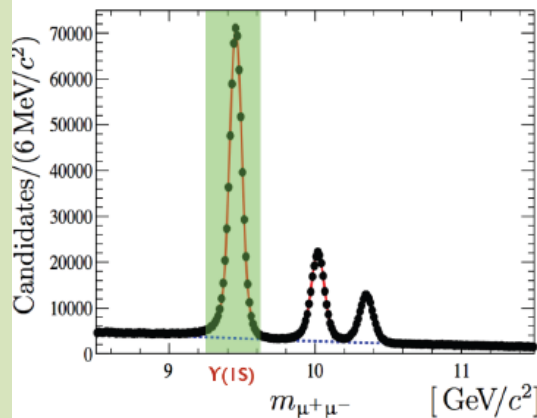
Phys.Rev.Lett.109(2012)172003

## Спектроскопія важких ароматів

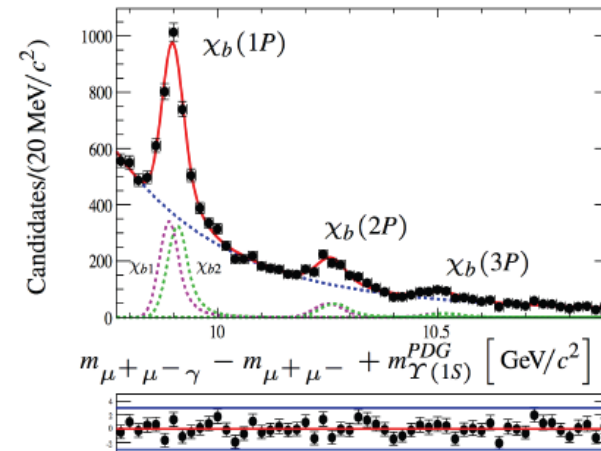
LHCb-PAPER-2014-031

# $\chi_b$ 's production & decays/2

- the « method » :

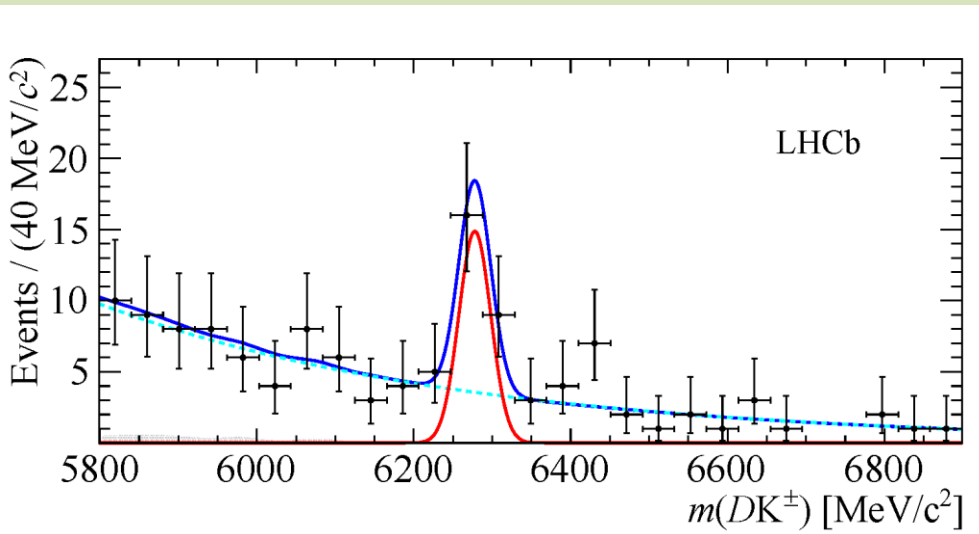


+  $\gamma$   $\rightarrow$



- **calorimetric**  $\gamma$  : « high » stat. / « low » resol.
- $b_0$  neglected,  $b_1$  and  $b_2$  fitted simultaneously (assume  $\Delta m_{12}$  and  $N_{b2}/N_{b1}$ )
- main systematics : fit model and  $\gamma$  reconstruction
- analysis with **converted**  $\gamma$  (« low » stat. / « high » resol.) coming soon ...

Спектроскопія – довершене знаряддя досліджень  
та пошуку «Нового»



$B_c^+$  - єдиний мезон, що складається з двох важких кварків з різним ароматом: **b-** (красивий) та **c-** (чарівний) - кварк.

Знайдений сигнал – несподіванка – набагато перевищує теоретичні передбачення !

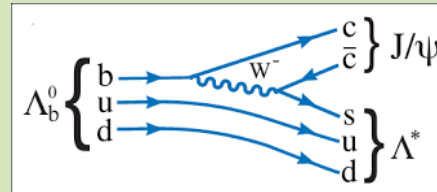
Новий результат LHCb , представлений на  
Нараді «СКМ»

Mumbai, India. 1 грудня 2016 р.

<http://lhcb-public.web.cern.ch/lhcb-public/Welcome.html#CKM2016>

Детальні дослідження мають встановити  
Причину – неадекватні розрахунки, чи  
НФ – сигнал ?

## Порівняння часів життя В-мезона та $\Lambda_b$ - баріона

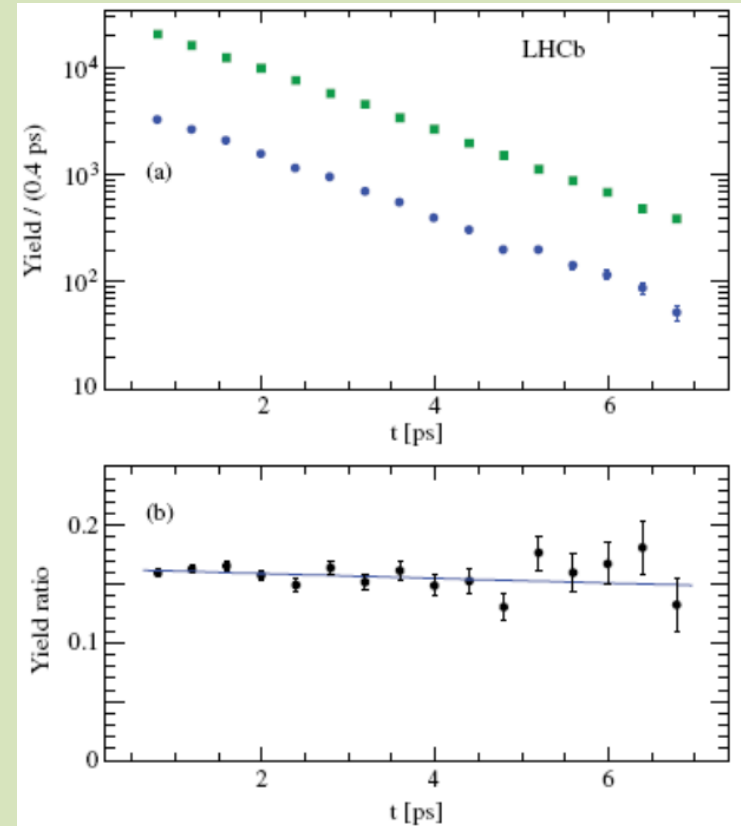


HQE-теорія [NPV, 483, 339, 1997] :

- Важкий  $b$ -кварк визначатиме час життя в обох зразках матерії з  $b$  кварком !
- Тобто час життя В-мезона та  $\Lambda_b$ - баріона має бути однаковим.
- Однак, апіорі невідома роль третьої частинки в  $\Lambda_b$ - баріоні ... Вона може бути суттєвою !
- З наших ранніх досліджень трьох-частинкових процесів в ядерній фізиці ми спостерігали модифікацію ширини (часу життя) коротко живучих резонансів кулонівським полем третьої частинки ...
- LHCb result:

$$\tau(\Lambda_b)/\tau(B_0) = 0.976 \pm 0.012 \pm 0.006$$

Підтвердження HQE – теорії.



PRL 111, 102003 (2013)

$$\tau(\Lambda_b) = 1.482 \pm 0.018 \pm 0.012 \text{ ps}$$

## Порушення CP симетрії – один із чинників асиметричної розбудови Всесвіту

### *Ingredients for Baryogenesis*



- *B violation (sphalerons)*
- *C & CP violation*
- *Out-of-equilibrium or CPT violation*

*Standard Model*      *BSM*

✓	✓
✗	✓
✗	✓

### Три Умови Сахарова виникнення баріонної асиметрії Всесвіту:

- Незбереження баріонного числа
- Порушення CP-симетрії
- Порушення теплового балансу



## Порушення CP симетрії

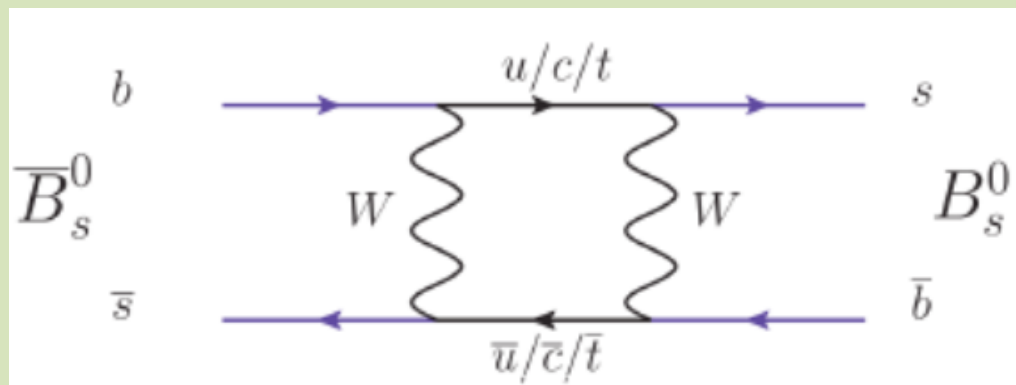
CP Violation (CPV) – потенціальне джерело Нової Фізики:

- Розрахунки за Стандартною Моделлю рівня порушення CP симетрії на багато порядків недостатні для пояснення баріонної асиметрії Всесвіту

Можливі три шляхи для порушення CP симетрії:

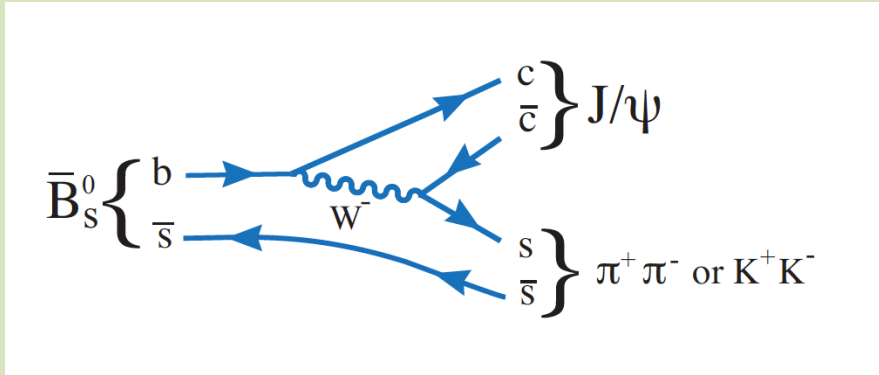
- Прямий – в розпадах
- Непрямий – за рахунок «змішування»
- Через інтерференцію цих двох процесів

B – mesons  
mixing (oscillations)

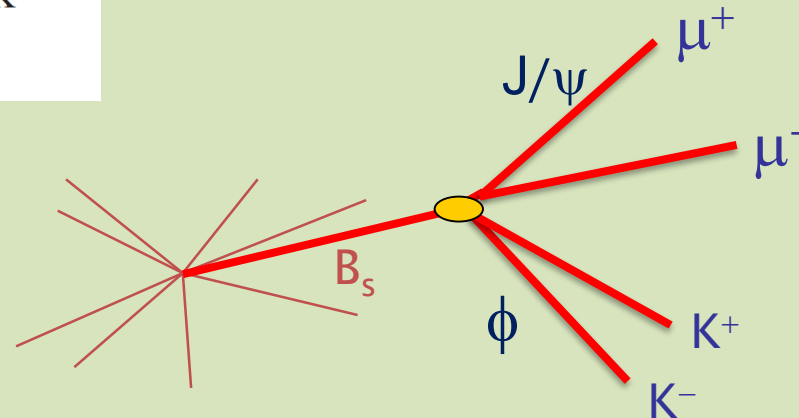


**«Змішування» може протікати також через  
Петльові діаграми за участю важких проміжних – > Нова Фізика !**

## Порушення CP-парності в розпадах важких мезонів



- $B_s \rightarrow J/\psi\Phi$  and  $B_s \rightarrow J/\psi\pi\pi$
- Чисті канали розпаду
- Прозора ідентифікація



# Порушення CP симетрії в прямих розпадах Красивих мезонів

Вибрані результати експерименту LHCb  
Матерія – Анти матерія  
Осциляції B – мезонів,  
порушення CP – симетрії, ...)

Measuring asymmetries –  
restrict the systematic errors

Asymmetries were derived from  
measured data for decays  
of neutral  $B_d$  as well as  $B_s$  mesons  
(to get rid out of systematic errors)

$$A_{CP}(B^0 \rightarrow K^+\pi^-) = \frac{\Gamma(\bar{B}^0 \rightarrow K^-\pi^+) - \Gamma(B^0 \rightarrow K^+\pi^-)}{\Gamma(\bar{B}^0 \rightarrow K^-\pi^+) + \Gamma(B^0 \rightarrow K^+\pi^-)}$$

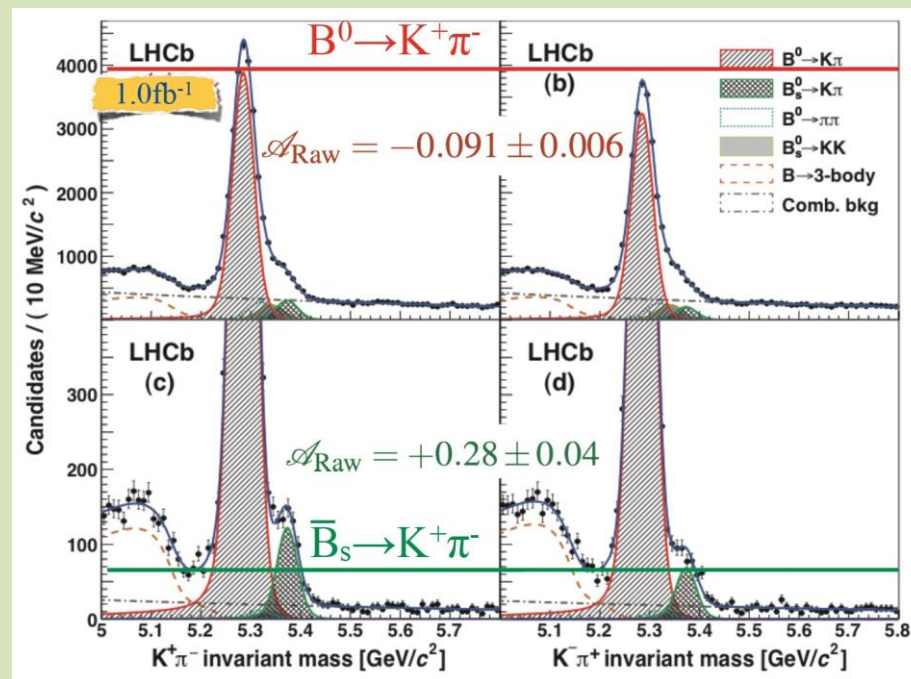
$$A_{CP}(B_s^0 \rightarrow K^-\pi^+) = \frac{\Gamma(\bar{B}_s^0 \rightarrow K^+\pi^-) - \Gamma(B_s^0 \rightarrow K^-\pi^+)}{\Gamma(\bar{B}_s^0 \rightarrow K^+\pi^-) + \Gamma(B_s^0 \rightarrow K^-\pi^+)}$$

$$A_{CP}(B^0 \rightarrow K^+\pi^-) = -0.091 \pm 0.006$$

The most precise measurement.

$$A_{CP}(B_s^0 \rightarrow K^-\pi^+) = +0.28 \pm 0.04$$

Перше спостереження СЗ – порушення  
в розпадах  $B_s^0$  мезонів.

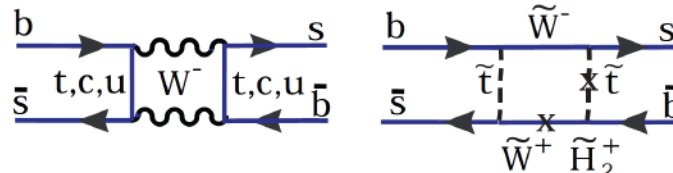


RPL110(2013)221601

Результати узгоджуються із розрахунками  
Стандартної Моделі

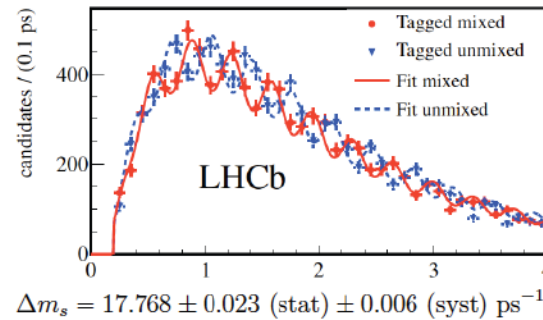
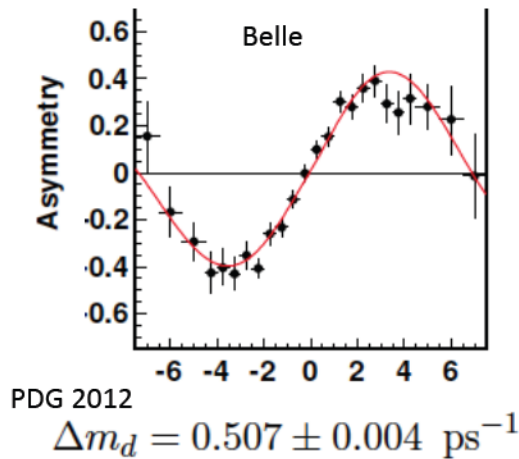
**Порушення CP симетрії  
через змішування в розпадах В мезонів**

## B mixing and CP violation



Time evolution of Flavor Eigenstates

$$i \frac{d}{dt} \begin{pmatrix} B_s^0 \\ \bar{B}_s^0 \end{pmatrix} = \begin{pmatrix} M_{11}^s - i \frac{\Gamma_{11}^s}{2} & M_{12}^s - i \frac{\Gamma_{12}^s}{2} \\ M_{12}^{s*} - i \frac{\Gamma_{12}^{s*}}{2} & M_{22}^s - i \frac{\Gamma_{22}^s}{2} \end{pmatrix} \begin{pmatrix} B_s^0 \\ \bar{B}_s^0 \end{pmatrix}$$



M. Artuso, DPF 2013, August 17, 2013

**Спостереження еволюції подій за участю частинок та анти-частинок  
може надати сигнал про Нову фізику.**

## Частота осциляцій $B_s$ мезонів

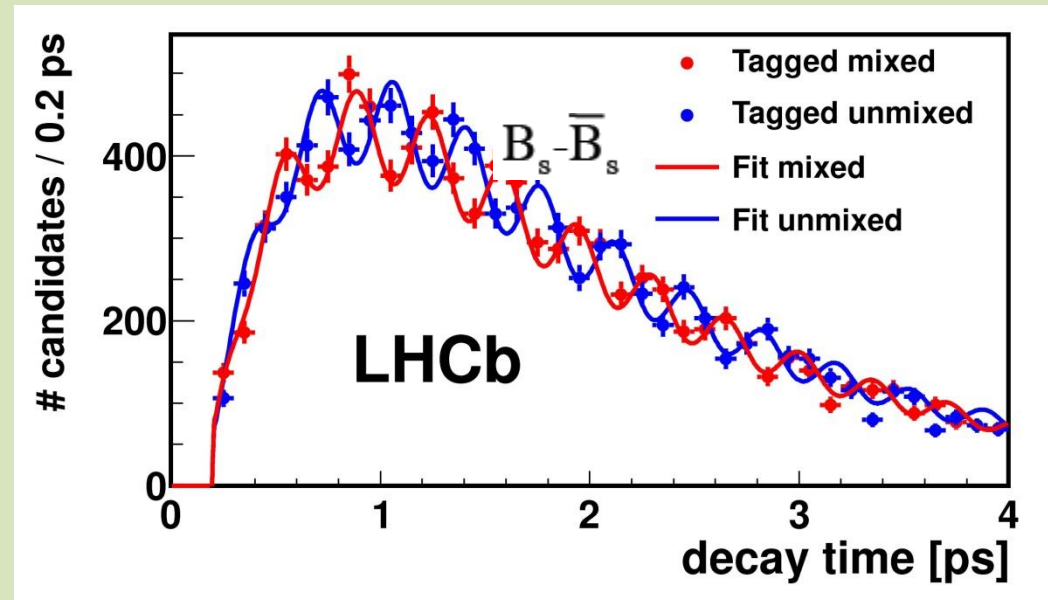
LHCb вимірює еволюцію аромату (змішування) з точністю **45 fs**, завдяки реконструкції вторинних вершин розпаду В мезонів з точністю 30-40  $\mu\text{m}$  (VELO !).

Характерні риси «змішування»: різниця мас  $\Delta m$  (визначається частотою змішування), різниця ширин розпаду  $\Delta\Gamma$ , фаза між амплітудами ропаду та змішування  $\Phi_s$ .

Результати для  $B_s$  – мезонів:  
розпади через  $D_s^- \pi^+$  and  $D_s^+ \pi^-$ .

Вилучена частота осциляцій становить :

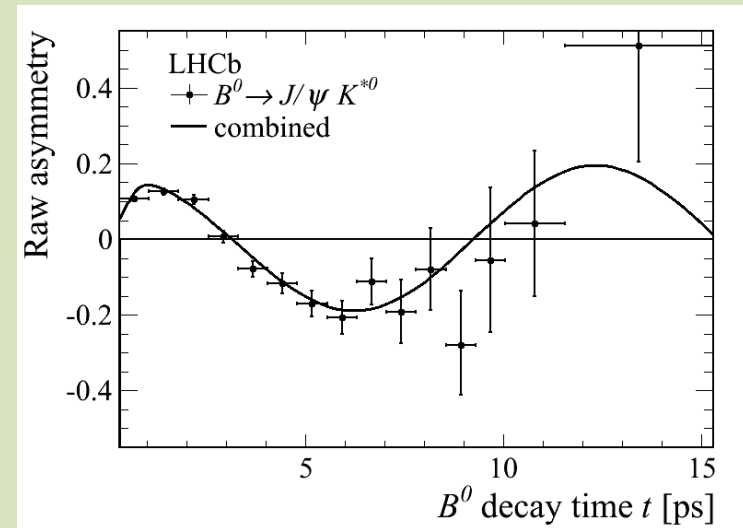
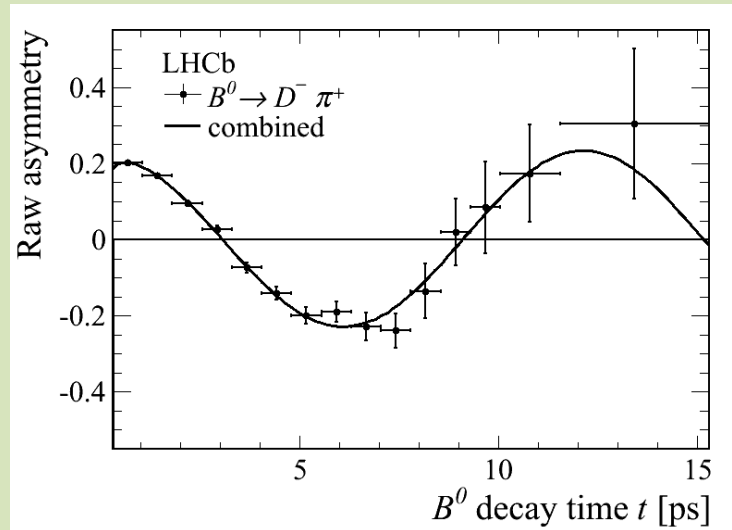
$$\Delta m_s = 17.768 \pm 0.023 \pm 0.006 \text{ ps}^{-1}$$





Evolution of Events in Time – signature for  
“NEW”

**$B^0$  oscillations**  
observed in  $D^+\pi^-$  and  $J/\psi K^{*0}$  decays



Combined for two decay channels  
 **$\Delta m_d = 0.5156 \pm 0.0051 \pm 0.0033 \text{ ps}^{-1}$**

The most precise measurement  
of the oscillation frequency for  $B^0$  mesons.

LHCb-PAPER-2013-006  
arXiv.1304.4741  
PLB.719(2013)318

## Порушення CP симетрії через $B_s$ змішування

Time dependent decay studies  
for measuring CP violating  
parameters in  $B_s$  mixing:

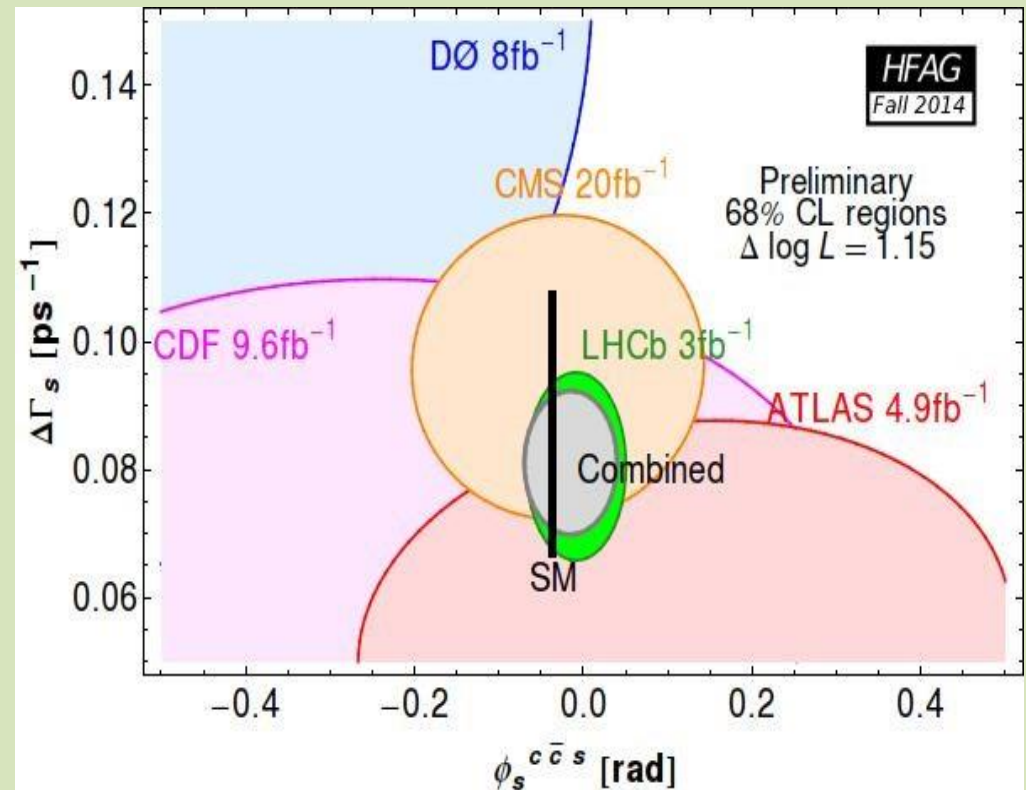
$B_s \rightarrow J/\psi K^+K^-$  and

→

$B_s \rightarrow J/\psi \pi^+\pi^-$

CP violating phase  $\Phi_s$  may  
include new physics ...

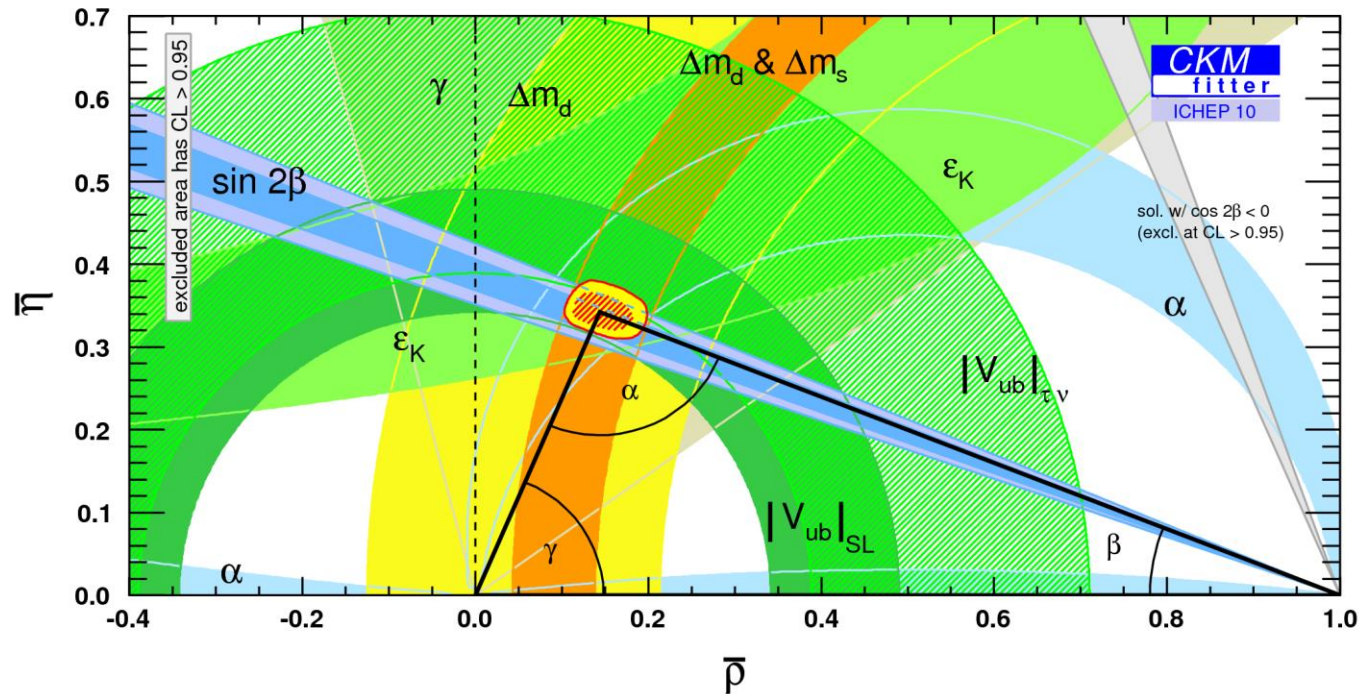
Combined for two  
processes results are  
compatible with SM.



(Phys.Lett. B736 (2014) 186) – Update for 3 fb<sup>-1</sup>

$$\Phi_s = (70 \pm 68 \pm 8) \text{ mrad}$$

# Трикутник унітарності та експеримент



Матричні елементи CKM матриці вимірюють експериментально з розпадів K, D та B мезонів. Співвідношення між матричними елементами – сторони та кути трикутника.

$$\alpha = 91.0 [+7.5 -5.6] (\pm 2\sigma)$$

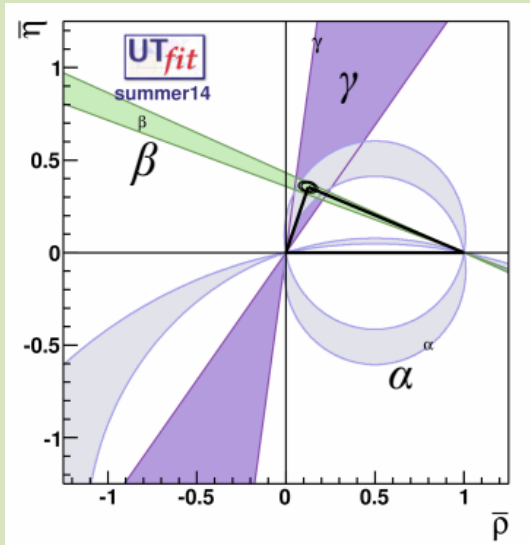
$$\beta = 21.8 [+1.9 -1.4] (\pm 2\sigma)$$

$$\gamma = 67.2 [+5.4 -7.4] (\pm 2\sigma)$$

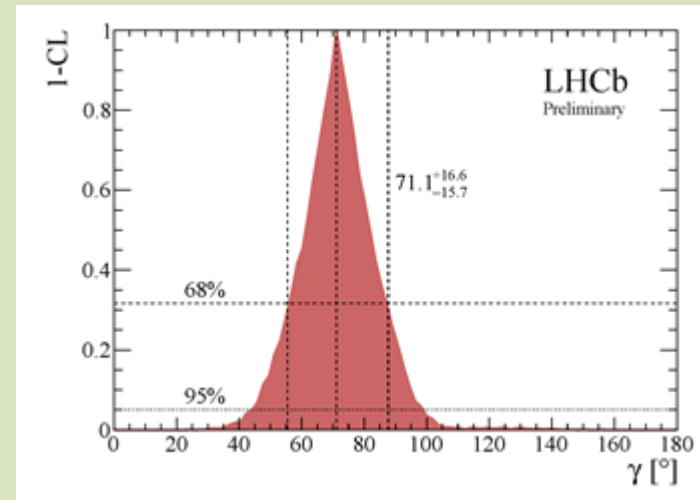
LHCb: CKM кути трикутника унітарності.

$\phi_3 (\gamma)$  from  $B^\pm \rightarrow Dh^\pm$  decays

LHCb-PAPER-2013-020.  
PLB, 726, 151 (2013)



$$\gamma = \arg \left( \frac{-V_{ud} V_{ub}^*}{V_{cd} V_{cb}^*} \right)$$



The  $B^\pm \rightarrow DK$  and  $B^\pm \rightarrow D\pi$  decays were analyzed :  
D decays:  $KK, \pi\pi, K^0_S \pi\pi, K^0_S KK$  or  $K\pi\pi$ .

Example:  $\gamma = (71.1^{+16.6}_{-15.7})^\circ$  for  
 $B^\pm \rightarrow DK$  decay (68% CL).

- Least well determined Unitarity Triangle angle:

- BaBar:  $(69^{+17}_{-16})^\circ$   
[Phys. Rev. D 87 (2013) 052015]
- Belle:  $(68^{+15}_{-14})^\circ$   
[arXiv:1301.2033]
- LHCb:  $(67 \pm 12)^\circ$   
[LHCb-CONF-2013-006]

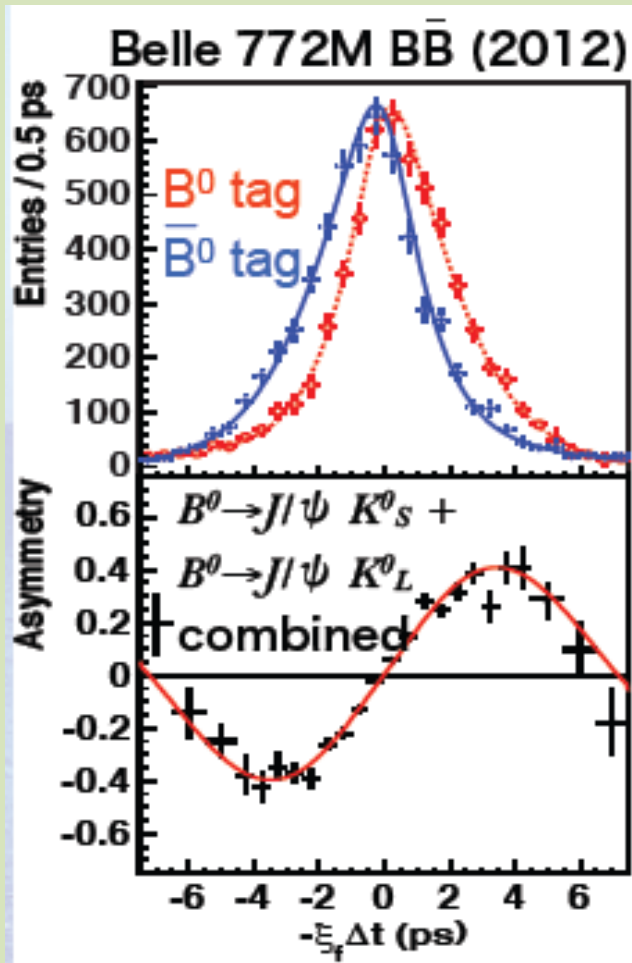
Results combined for all specified channels:

$55.4 < \gamma < 82.3$  (68 % CL)

**Best fit value  $\gamma = 72.6^\circ$**

# CKM angles in the Unitarity Triangle.

## Angle $\phi_1$ ( $\beta$ )



$$A_{CP} = \frac{\mathcal{P}(\bar{B}^0(\Delta t) \rightarrow f_{CP}) - \mathcal{P}(B^0(\Delta t) \rightarrow f_{CP})}{\mathcal{P}(\bar{B}^0(\Delta t) \rightarrow f_{CP}) + \mathcal{P}(B^0(\Delta t) \rightarrow f_{CP})}$$

$$= S \sin \Delta m \Delta t + A \cos \Delta m \Delta t$$

mixing induced CPV
direct CPV

$\Delta m$ : mass difference of eigenstates  
 $\Delta t$ : decay time difference of eigenstates

BELLE

$$\sin 2\phi_1 = 0.667 \pm 0.023 \pm 0.012$$

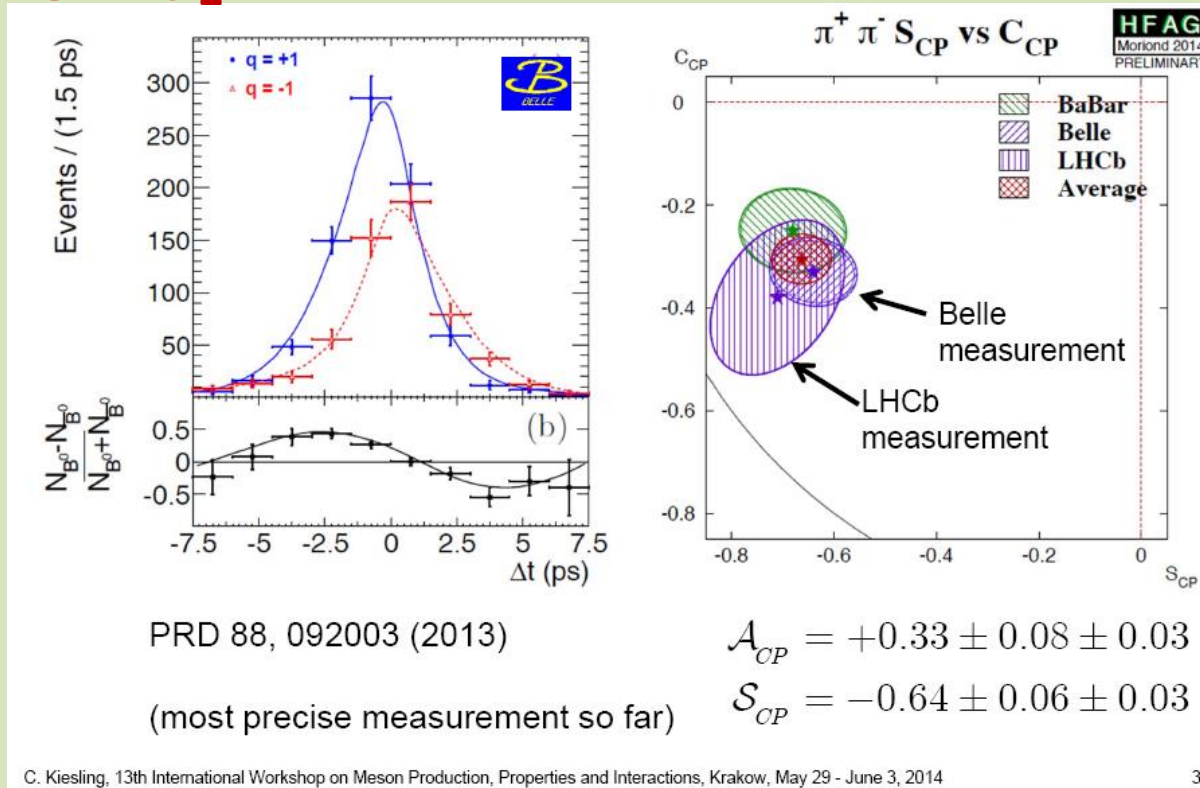
$$A_f = 0.006 \pm 0.016 \pm 0.012$$

PRL 108, 171802 (2012)



CKM angles in the Unitarity Triangle.

Angle  $\phi_2 (\alpha)$ .  $B^0 \rightarrow \pi^+ \pi^-$



$\phi_2 \in [85.0^\circ, 148.0^\circ]$  (Belle results only)

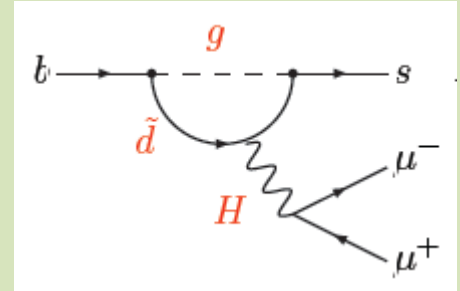
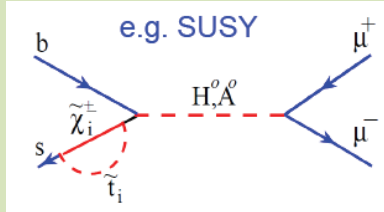
Global fit:  $\phi_2 (\alpha) = ( 85.4 \pm 4 )^\circ$

# LHCb: рідкісні моди розпаду

## $B_s^0 \rightarrow \mu^+ \mu^-$ and $B^0 \rightarrow \mu^+ \mu^-$

Standard Model - FCNC and helicity suppressed processes with pure leptonic final states, *PRL 112 101801 (2014)* :

- $\text{Br}(B_s^0 \rightarrow \mu^+ \mu^-) = (3.65 \pm 0.23) \times 10^{-9}$
- $\text{Br}(B^0 \rightarrow \mu^+ \mu^-) = (1.1 \pm 0.10) \times 10^{-10}$



-> If in experiment different – evidence for New Physics.

## Results: 1. $B_s^0 \rightarrow \mu^+ \mu^-$

First observation LHCb (*PRL 111, 101805 (2013)*)

Combined LHCb & CMS (2014)

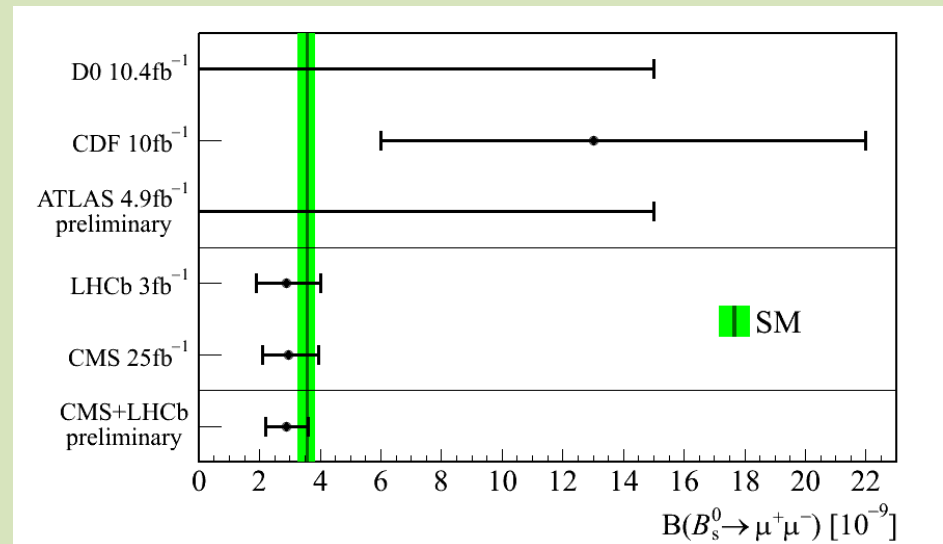
(preliminary)  $(2.9 \pm 0.7) \times 10^{-9}$

LHCb-PAPER-2014-049  
CMS-XXX-XXX-14-XXX  
August 27, 2014

## 2. $B^0 \rightarrow \mu^+ \mu^-$

$$\mathcal{B}(B^0 \rightarrow \mu^+ \mu^-) = (3.6^{+1.6}_{-1.4}) \times 10^{-10}$$

Results consistent with the SM

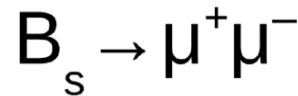


New Physics - the next digit of data accuracy ?

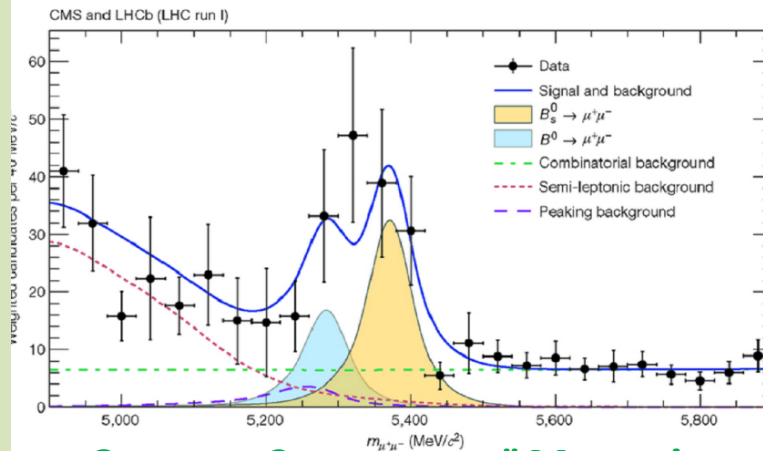
LHCb, CMS.

Вперше спостережені рідкісні  
розпади B-мезонів ...  
крок до Нової Фізики ?

Вибрані результати експерименту LHCb  
Рідкісні моди розпаду важких адронів –  
можливе джерело Нової Фізики.



Nature 522 (2015) 68



Combination of CMS  
and LHCb data results  
in first observation of  
 $B_s \rightarrow \mu^+ \mu^-$  and first  
evidence for  $B^0 \rightarrow \mu^+ \mu^-$

Results consistent with  
SM at  $2\sigma$  level

Закони Стандартної Моделі дозволяють такі розпади

на рівні 1 події на 1- 10 мільярдів випадків

Standard Model - FCNC and helicity suppressed processes with pure leptonic final state.

Вперше в світі виміряна імовірність таких розпадів B- мезонів  
співпадає з передбаченням СМ в межах 20 - 50 відсотків.

Нові виміри (2015 – 2017 р.р.) при енергії 13 TeV з більш високою статистикою –  
можуть стати чутливими до внеску процесів за межами Стандартної Моделі.


# LHCb: Рідкісні моди розпаду. Кутові розподіли $B^0 \rightarrow K^+ \pi^- \mu^+ \mu^-$ .

$B^0 \rightarrow K^+ \pi^- \mu^+ \mu^-$  - FCNC process via  
loop diagram in SM.

- Possibility of modification of angular  
distributions due to contribution of new  
particles.

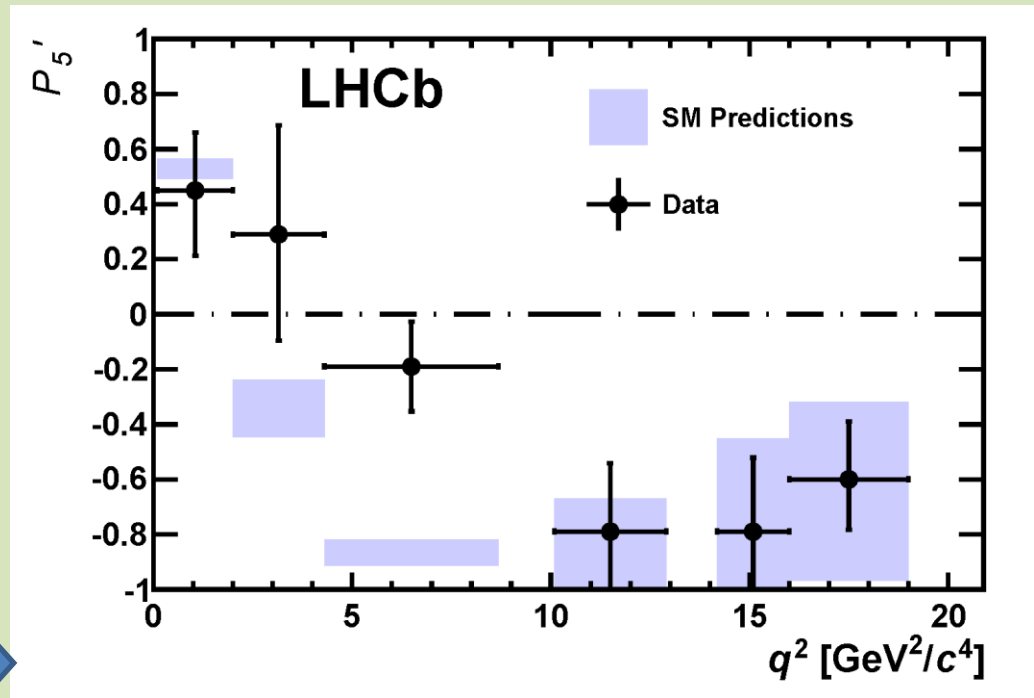
Descotes-Genon, JMatias,  
Virto: arXiv:1307.5683 (2013)

In total,  $P_{1-8}$  parameters determining  
angular distribution of final state  
products have been measured.

The  $P_5'$  observable is shown as a function  
of the  $\mu^+ \mu^-$  invariant mass squared  $q^2$ . 



arXiv:1308.1707 (2013)



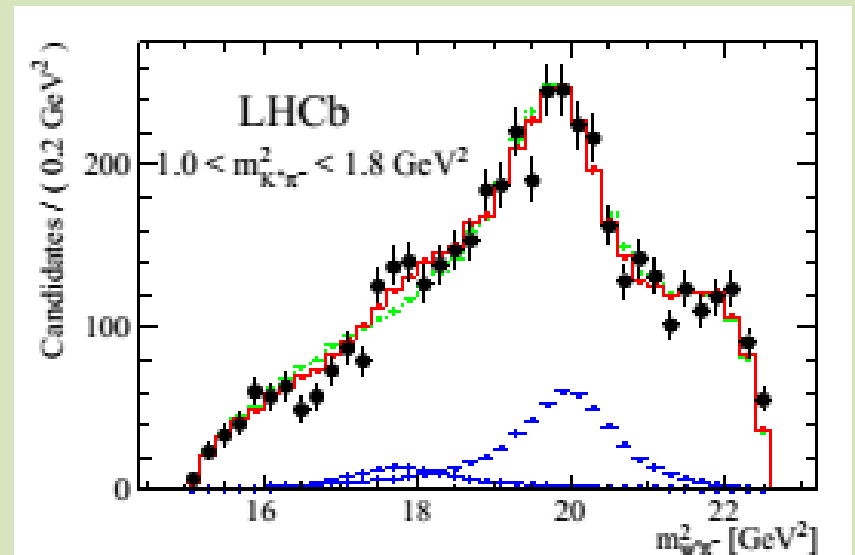
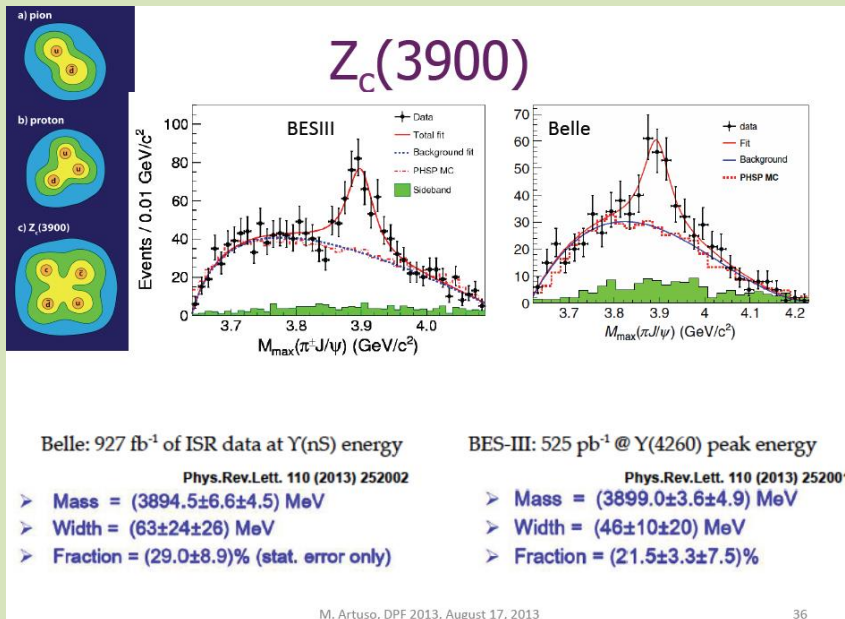
[J. HEP. 08 \(2013\) 131](#)

**3.7 $\sigma$  deviation of data above  
the Standard Model prediction  
is observed at  $4.3 < q^2 < 8.68$  GeV<sup>2</sup>/c<sup>4</sup>.**

# Спостереження тетра-кваркової структури Z (4430) – four-quarks resonant state

**Z(3900)** (BELLE, PRL 110 (2013) 252002

**Z(4430)** -  $c\bar{c}u\bar{d}$

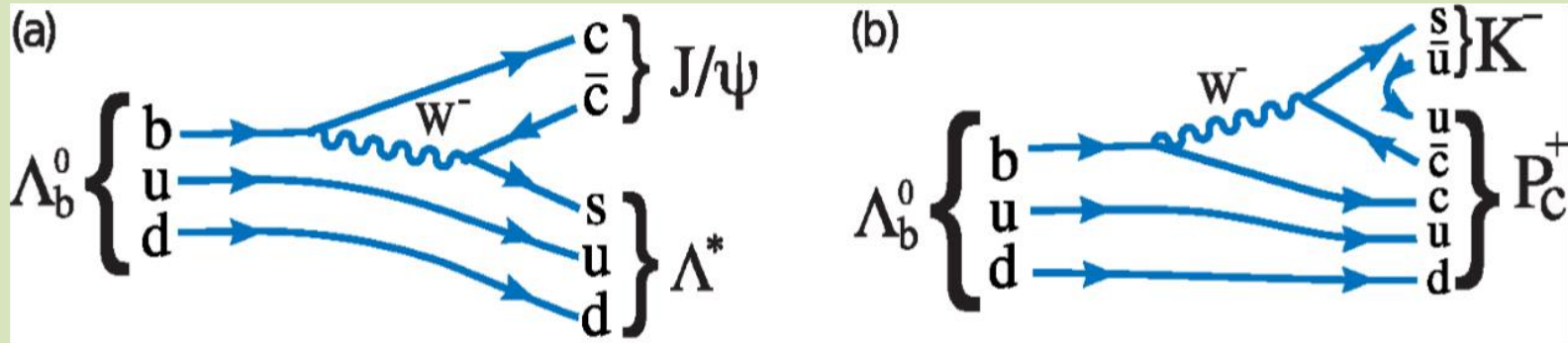


**LHCb – Confirmed** (PRL, 112, 222002 (2014))  
 The same decay studied:  $B^0 \rightarrow K^+\pi^-\psi$  (2S)  
 $J^P = 1^+$  assigned



# LHCb-2015.

## Відкриття пента-кваркової



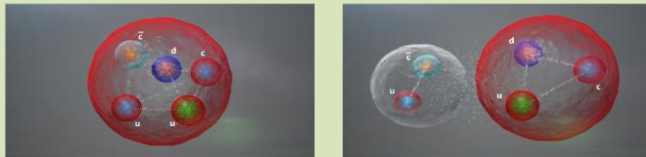
expected

discovered

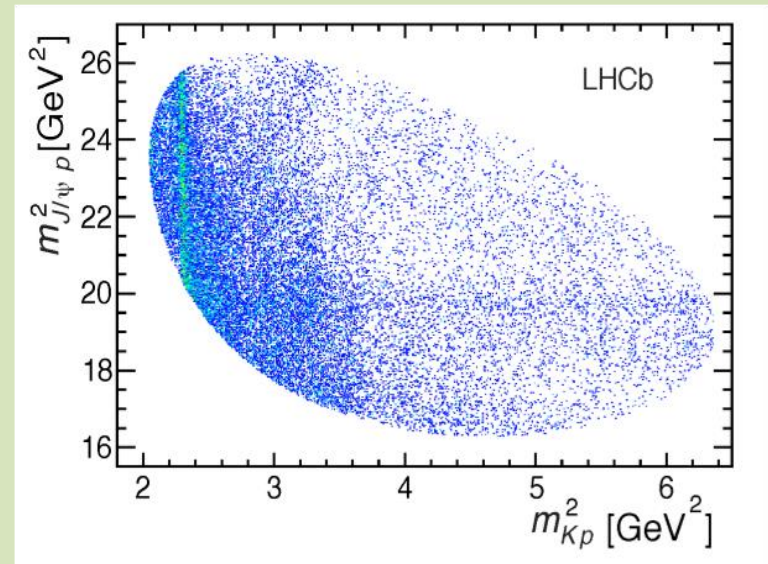
- reconstruct  $J/\psi$  in  $\mu^+\mu^-$
- look for  $\Lambda^*$  states in  $pK$  decay
- study Dalitz plot

fit fractions  $8.4 \pm 0.7 \pm 4.2\%$   $4.1 \pm 0.5 \pm 1.1\%$   
 best fit  $J^P$   $3/2$   $5/2^+$

- alternative spin-parity assignments have almost the same fit quality
- discussion on the interpretation has started . . .



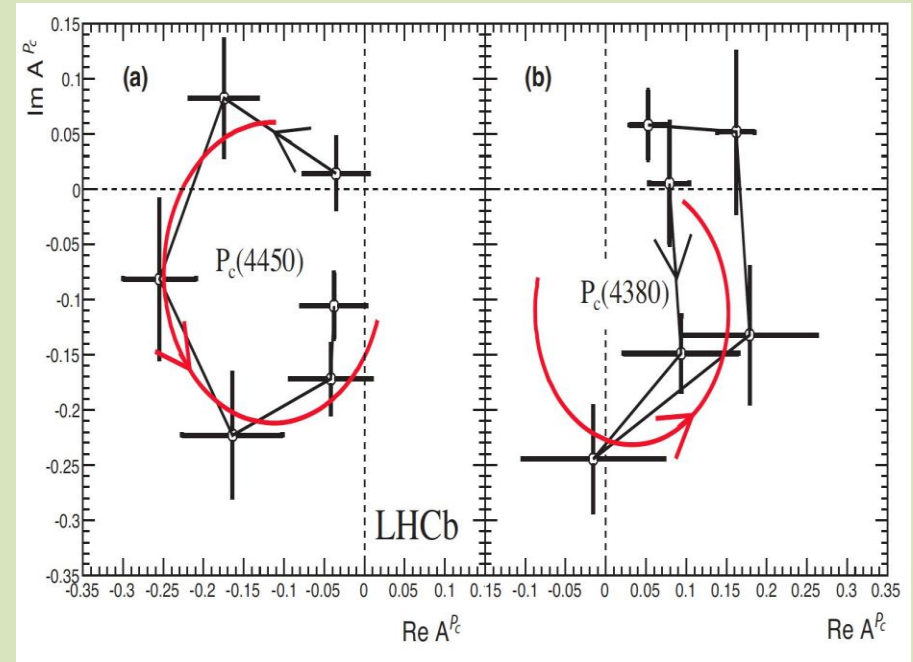
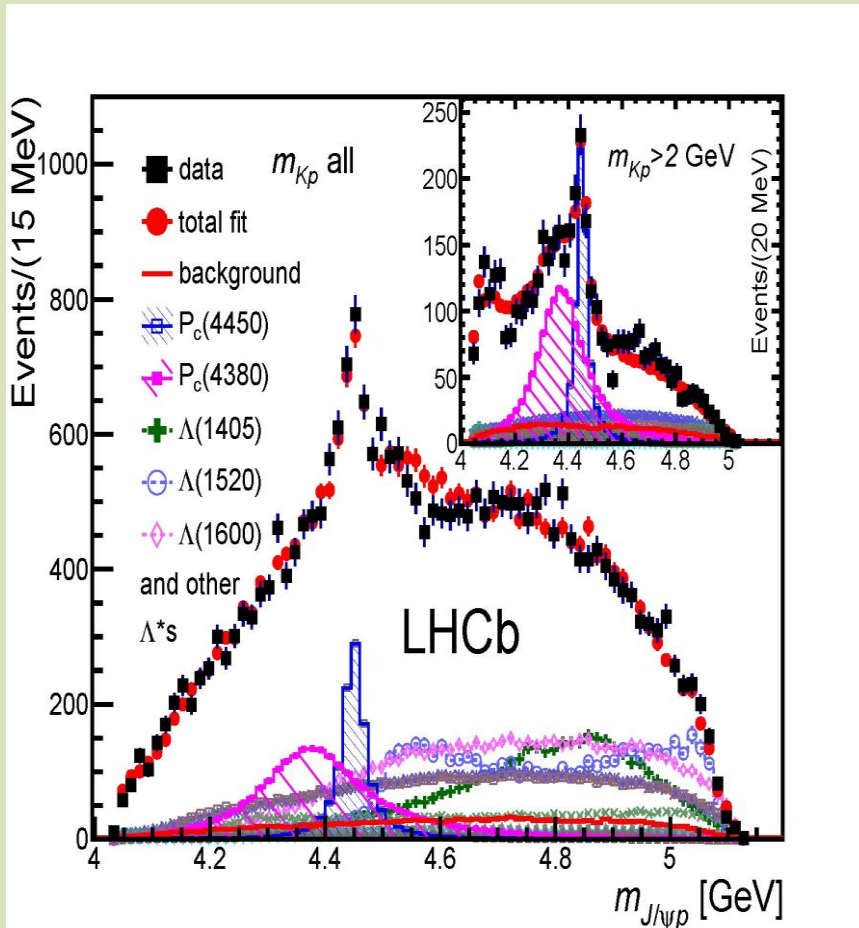
e.g.  $\bar{D}^* \Sigma_c$   $\bar{D}^* \Sigma_c^*$  (arXiv:1507.04249)



arXiv:1507.03414

LHCb-2015.

Відкриття пента-кваркової структури



Підтвердження спостереження пента-кваркових резонансів за діаграмою Агранда



Вимірний розподіл по інваріантній масі J/Psi та протона

## LHCb in 2015

Guy Wilkinson. Closing remarks. LHCb week, Dec 2015

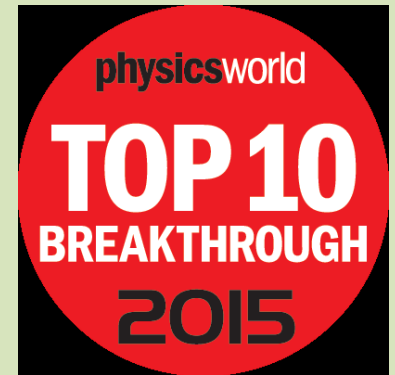
**Pentaquark discovery** has been chosen as one of top 10 breakthroughs of year.

Criteria:

- **Fundamental importance of research**
- **Significant advance in knowledge**
- **Strong connection between theory & expt**
- **General interest to all physicists**

**Only particle physics entry on the list.**

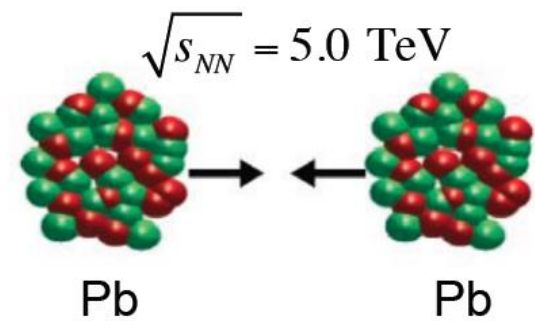
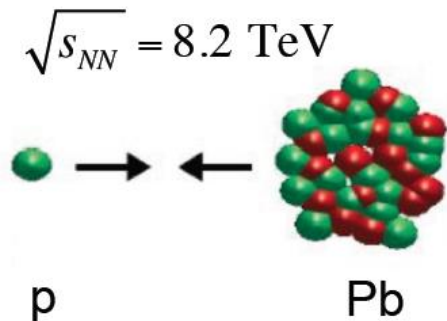
OK, **this is not the Nobel prize, but it highlights our importance in HEP as a whole, and to CERN in particular !**



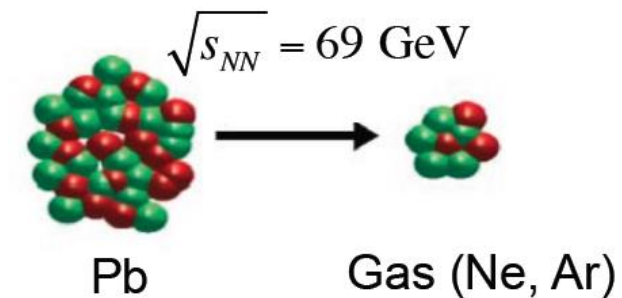
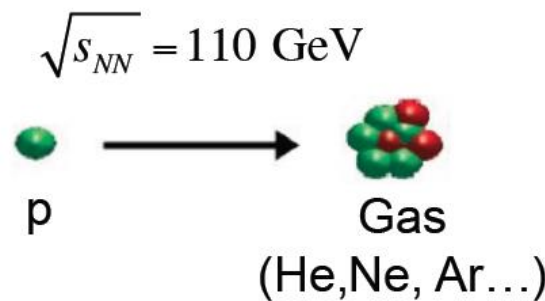


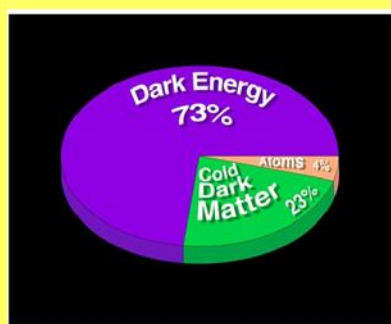
Генерація дивних, чарівних та красивих адронів в ядро-ядерних зіткненнях в експерименті LHCb.

**Collider mode**



**Fixed target mode**



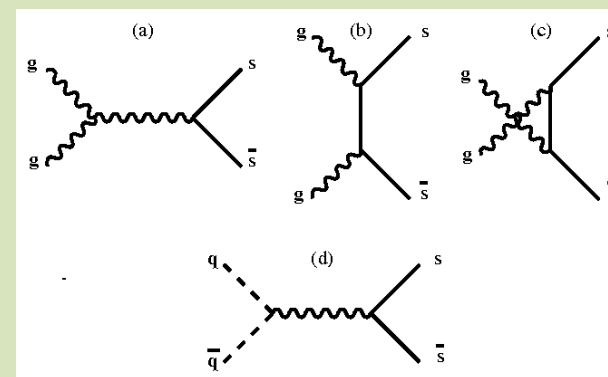


## Властивості взаємодій в атто-метровому просторі

Властивості взаємодій в атто-метровому просторі визначаються кварк-глюонними ступенями свободи.

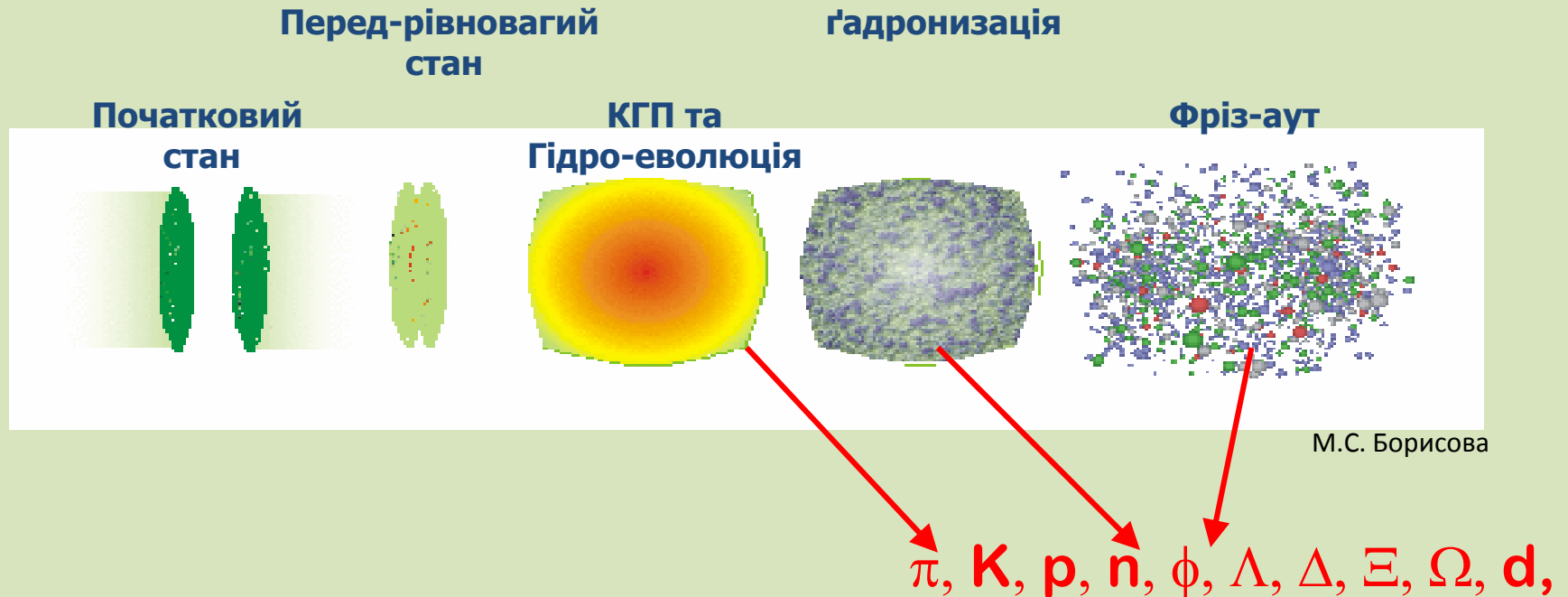
В експерименті LHCb досліджується генерація дивних (strange), чарівних (charm) та красивих (beauty) адронів (мезонів та баріонів) при енергіях первинних зіткнень ядер від 0.1 TeV до 13 TeV.

Закономірності сильних взаємодій при таких енергіях визначаються кварк-глюонними ступенями свободи при високій температурі ( $\sim 170$  MeV) та помірній густині (на рівні звичайної ядерної матерії).





# Модель еволюції процесу ядро-ядерних зіткнень



## Спостережувані величини

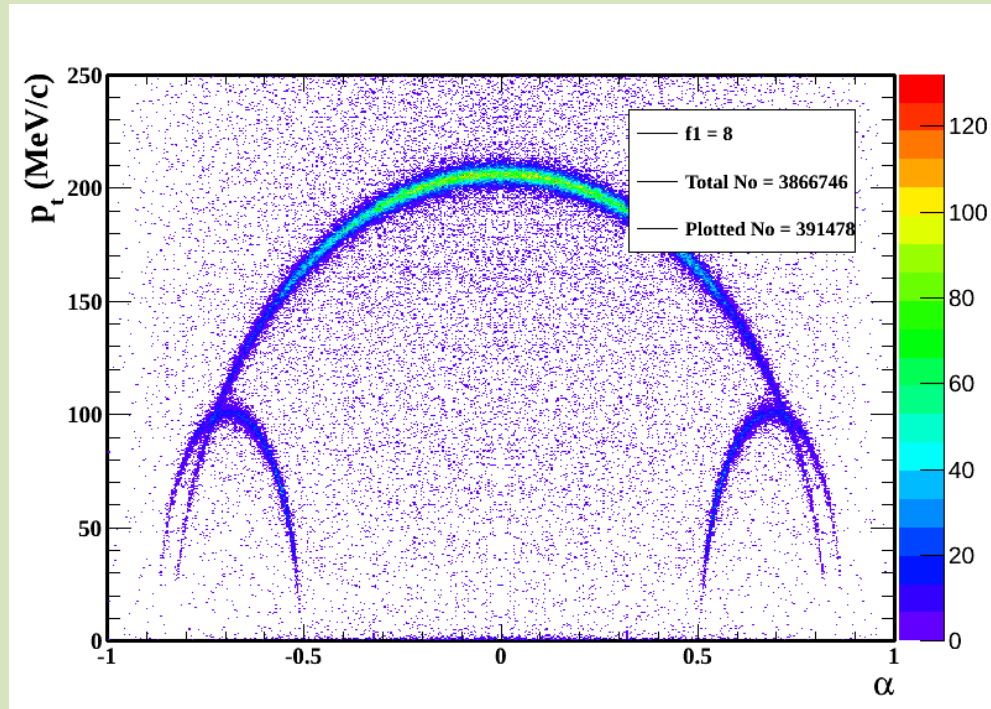
### Фазовий перехід до деконфайнмента

- Функції збудження та потоки дивних частинок ( $K, \Lambda, \Xi, \Sigma, \Omega$ )
- Функції збудження та потоки частинок, які містять с-кварк ( $J/\psi, \psi', \Lambda_c, D^0, D^{\square}$ ) або b-кварк

# Аналіз фізичних даних ЛНСб в ІЯД НАН України.

Диференційні поперечні перерізи утворення  $V^0$  частинок у протон-протонних та протон-ядерних зіткненнях в експерименті ЛНСб

Виміряно диференційні поперечні перерізи утворення  $K_S^0$  мезонів та  $\Lambda$  баріонів у протон-протонних та протон-ядерних (ядра  $^{208}\text{Pb}$ ) зіткненнях при енергіях у системі центру мас 7 та 5 TeV, відповідно.



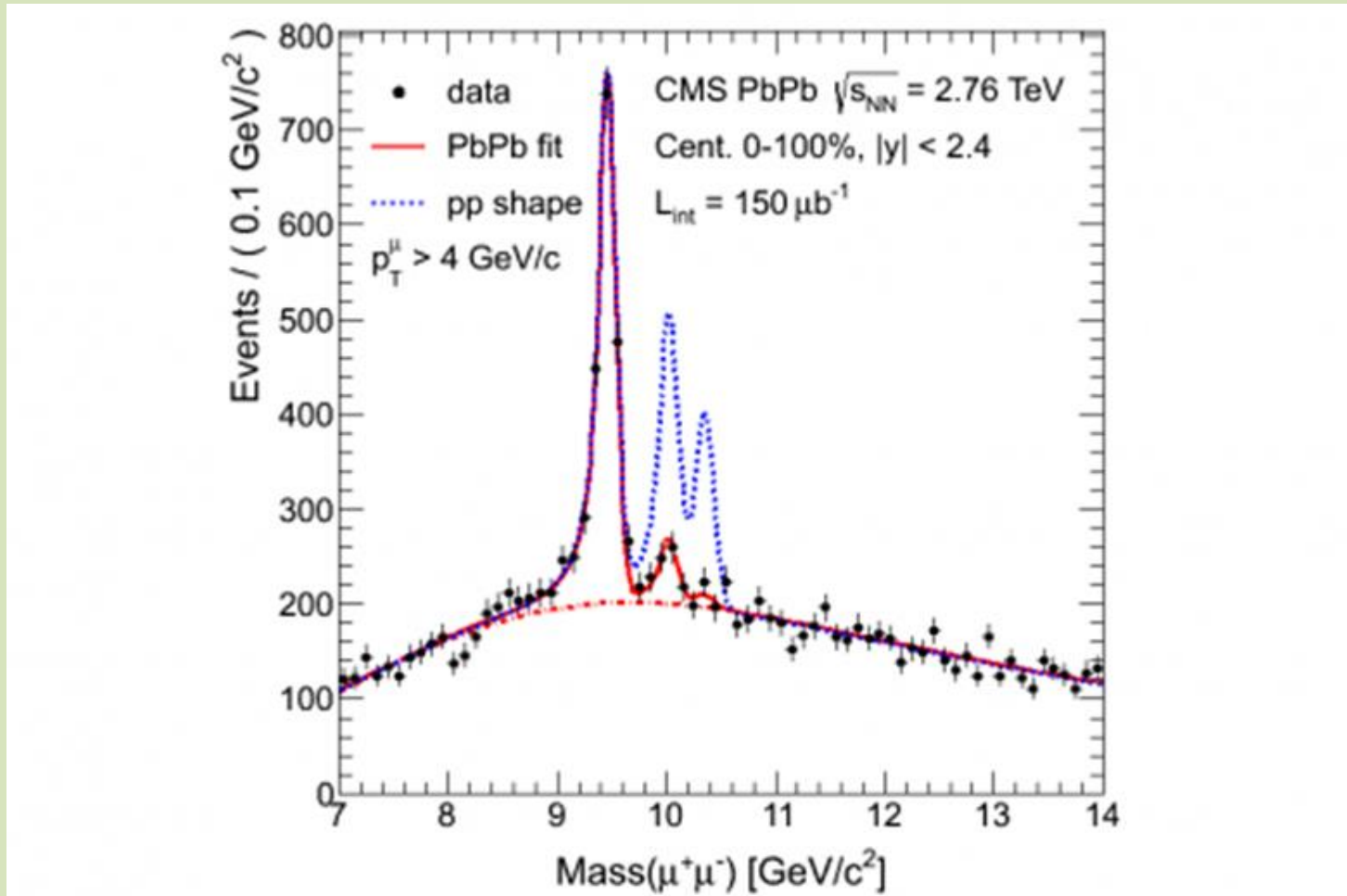
Розподіл подій з протон-ядерних зіткнень за діаграмою Арментаероса – Подолянського.

$K_S^0$  мезони: верхня вітка - (парабола)

$\Lambda$  баріони: дві нижніх параболи,

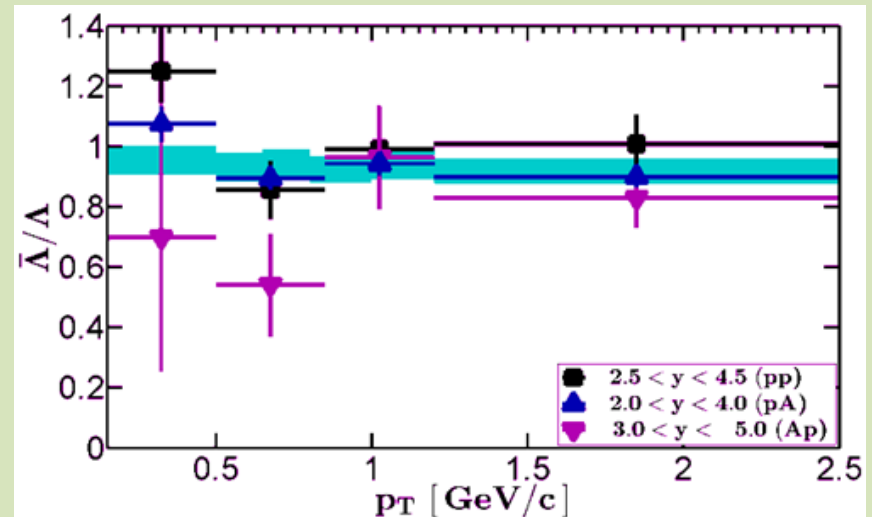
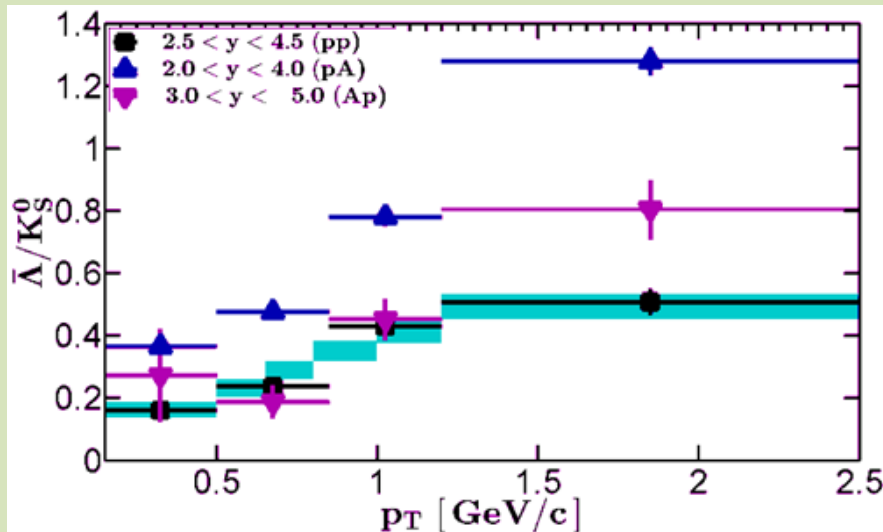
зліва – частинки, справа – анти-частинки

# Приклад ролі ядерного середовища в ядро-ядерних зіткненнях при високих енергіях.



# Аналіз фізичних даних LHCb - 2015

## Ratios of production cross-sections

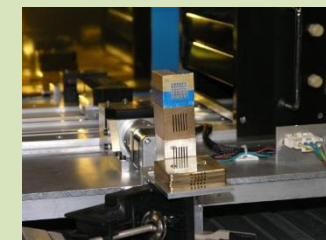
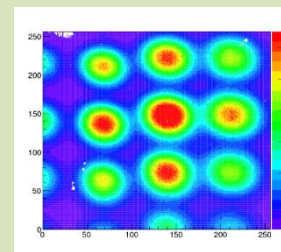
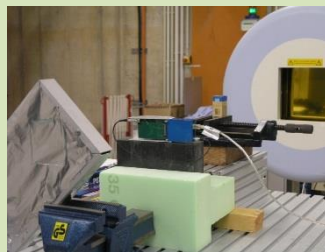
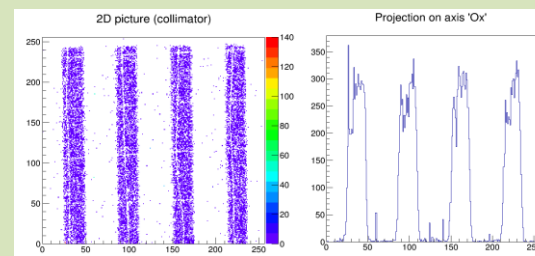
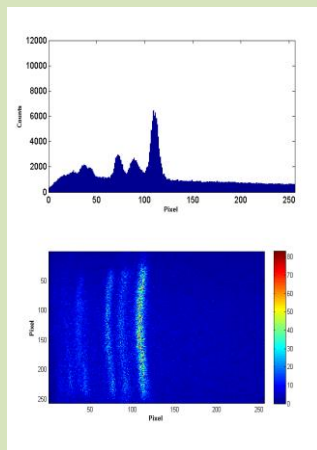


Відношення перерізів утворення  $\bar{\Lambda}$ -баріонів до  $K_S^0$ -мезонів (ліворуч) та  $\Lambda$ -баріонів (праворуч) у p-p (чорні квадрати), p-A (сині трикутники з вершиною вниз) та A-p (пурпурні трикутники з вершиною вгорі).

Смарагдовий колір - виміри для p-p зіткнень при 7 TeV, опубліковані раніше Колаборацією LHCb [4].

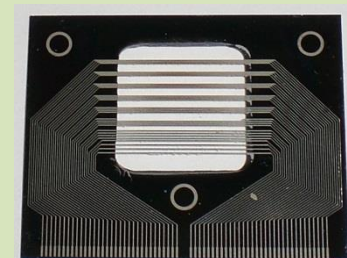
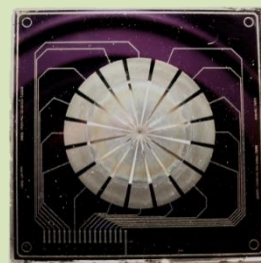
# Застосування мікродетекторів в інших галузях наукових досліджень

- Рентгенівський дифрактометр (ІПМ НАН України)
- Тандем-генератор (ЕГП-10к) ІЯД НАН України
- Хайдельберзький Іонний Терапевтичний центр (НІТ, Хайдельберг, ФРН).



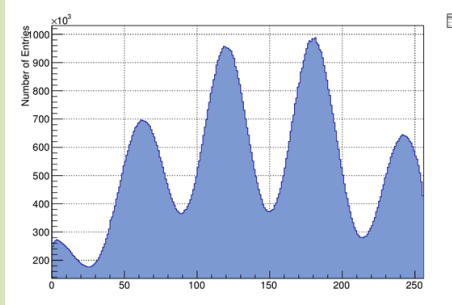
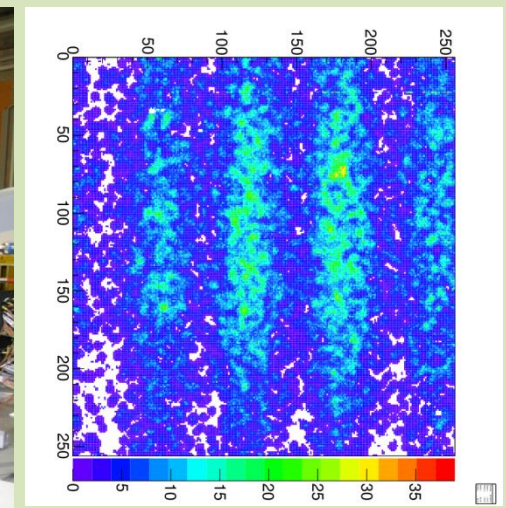
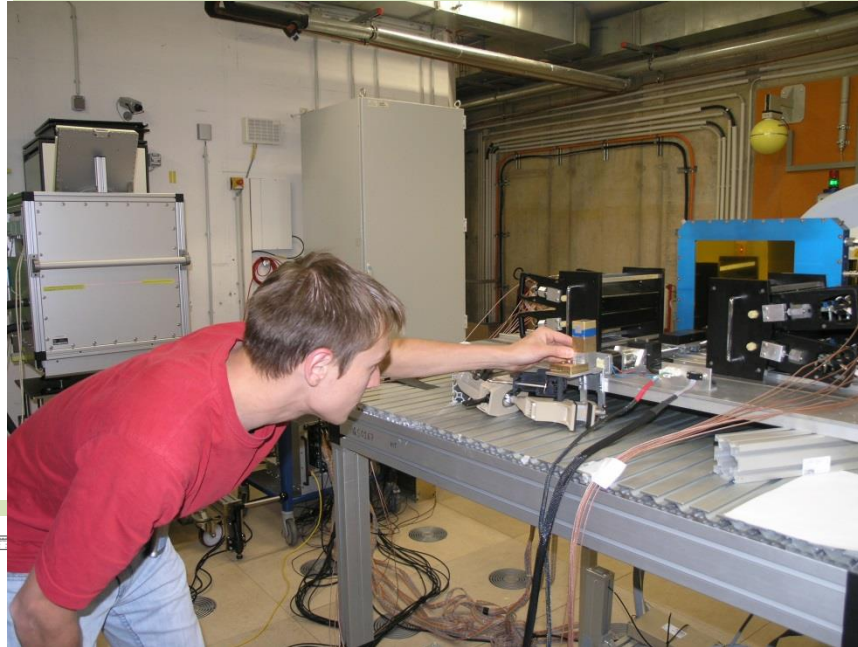
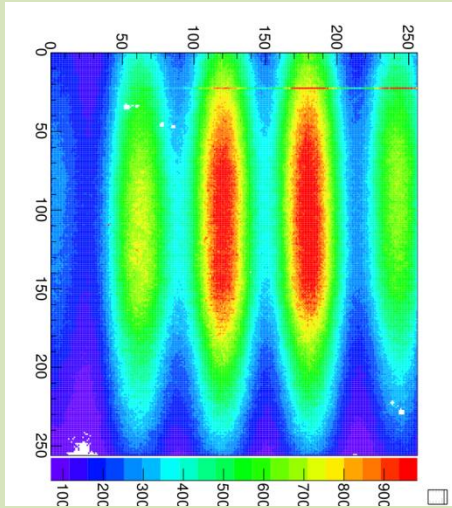
- **Перспективи використання металевих мікродетекторів (розробка ІЯД НАНУ):**

- 3 доповіді на Семінарі «Детекторні системи для фізики високих енергій», в рамках діяльності Міжнародної асоційованої лабораторії LIA IDEATE, 15 - 16 жовтня 2015 р. м. Орсе (Франція).
- Спільний проект для PHIL (LAL) – тестування елементів ILC, CLIC





# Зображення фракціонованого пучка іонів вуглецю з енергією 250 MeV/нуклон. НІТ (Heidelberg), June 2014.

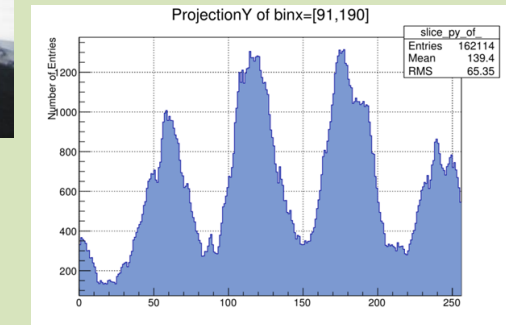


Ю. Сорокін (ІЯД НАН України)  
встановлює українські коліматори  
в НІТ (Heidelberg), June 2014.

Іонні пучки, сформовані щілинним коліматором. Розподіл виміряно мікропксельним гібридним детектором TimePix (CERN).



В.М. Пугач. КРАСИВА та ЧАРІВНА фізика  
LHCb. ЦЕРН. Женева. 07-12-2016



Іонні пучки, сформовані щілинним коліматором. Розподіл виміряно мікропксельним металевим детектором TimePix (CERN).

# ЛНСb – Плани.

- 2015-2017 – Фізичні дослідження при енергії 13 TeV
- 2018-2019 рік – модернізація ЛНС та експериментальних методик
  - Мета - підвищити майже на порядок світимість.
  - Одержати в 10 разів більшу статистику (50/фб)
  - Мати можливість спостерігати рідкісні явища, в тому числі з Нової Фізики.
- 2019 – 2020 р.р. - Фізичні дослідження при енергії 14 TeV

## Нова Фізика має існувати !

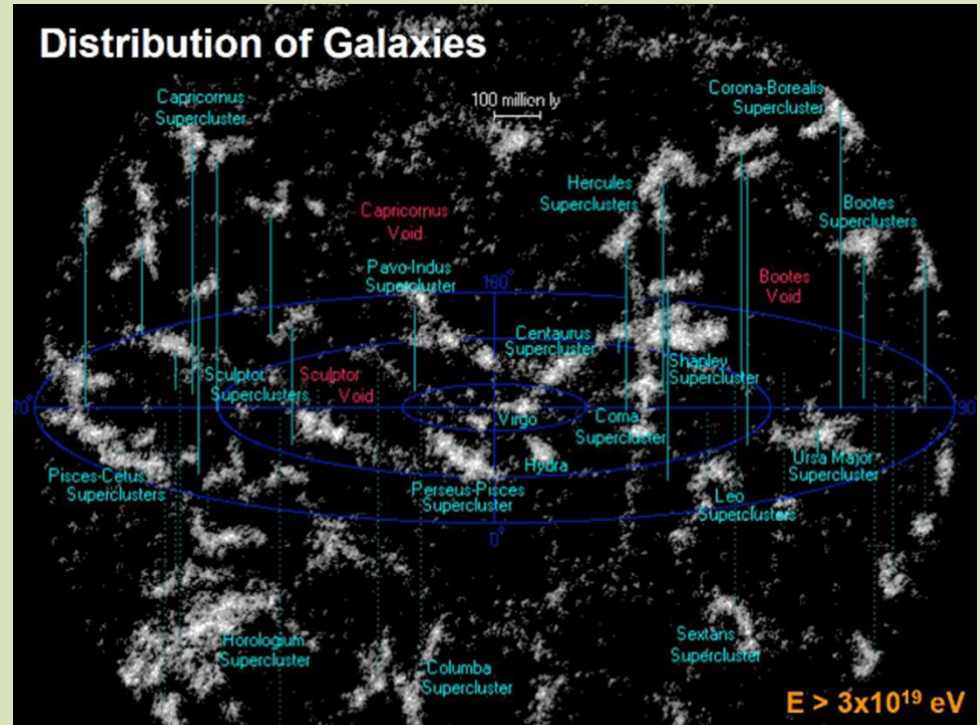
- Для її спостереження мають бути винайдені нові принципи детекторних систем, реконструкції подій, прискорювальної та комп'ютерної техніки, тощо.
- Новий величезний енергетичний постір, відкритий на ЛНС, безумовно багатий на нові явища. Мабуть для їх відкриття потрібно винайти нові спостережувані величини – достойна задача для фізиків – дослідників, в тому числі з України !

# Від $10^{13}$ еВ до $10^{21}$ еВ, далі ...

Heisenberg, Werner. Physics and Philosophy: The Revolution in Modern Science. (New York: Harper & Row Publishers, 1962). p. 201.

Існуючі наукові концепції завжди охоплюють лише дуже обмежену частину реальності, а інша частина, яка ще не стала зрозумілою, є нескінченною.

Всякий раз, коли ми переходимо від відомого до невідомого, ми можемо сподіватися на те, що ми його зрозуміємо, але ми, можливо, дізнаємося в той же час про новий сенс слова «розуміння».



Розподіл галактик за випромінюванням з енергією понад  $10^{19}$  еВ.

Масштаб:  $\longleftrightarrow$  - 100 мільйонів світлових років, біля  $3 \cdot 10^{21}$  км (радіус Землі -  $6.4 \cdot 10^3$  км)

# ВИСНОВКИ

- З 2015 р. на Великому Адронному Колайдері розпочато дослідження при новій енергії р-р зіткнень, 13 TeV, та суттєво підвищеній світимості.
- 21 річницю Колаборація LHCb (ЦЕРН) відзначила визначними фізичними результатами.
- Здійснено численні дослідження причин асиметричної еволюції матерії-антиматерії
- З аналізу розпаду важких мезонів, до складу яких входять красиві (beauty) або чарівні (charm) кварки, виміряно їх основні характеристики.
- Одержані результати (маса, час життя, частоти осциляцій, співвідношення гілок розпаду, тощо) є найбільш точними або одержані вперше в світі (пента-кварк,  $B_s \rightarrow \mu^+ \mu^-$  фракція розпадів, подвійно заборонених в рамках СМ,  $10^{-9} - 10^{-10}$ , CPV in  $B_s^0$ , тощо).
- Техніка експерименту фундаментальних досліджень ставить виклик найсучаснішим технологіям і спонукає науково-технічний прогрес людства
- Всі ці сфери діяльності очікують на прихід нових інтелектуальних сил, в тому числі з України.

# ПОДЯКА

- ЦЕРН – колегам з Колаборацій LHCb, MEDIPX
- За творчу співпрацю колегам з відділу фізики високих енергій ІЯД НАН України:

**PhD:** Borysova Maryna, Chaus Andriy, Lymanets Anton, Obikhod Tetyana, Sorokin Iouri, Teklishin Maxim, Yakovenko Victor

**SR:** Kovalchuk Olexii, Kyva Volodymyr, Militsiya Victor, Malygina Ganna, Momot Eugenia, Okhrimenko Olexandr, Pugatch Tetyana, Pugach Mykhailo, Storozhyk Dmytro

**Students:** Dobishuk Vasyl, Koliev Sergiy (PhD), Kostyuk Igor, Trohimchuk Katerina? Lukashenko Valerija.

- За підтримку наших робіт в ЦЕРН та ІЯД НАН України:
  - Раді з Фізики Високих Енергій НАН України
  - Міжвідомчій Раді з наукового приладобудування
  - Державному фонду фундаментальних досліджень



# Дякую за увагу!





# Backup slides

# The Future Circular Collider (FCC)

pp collider (FCC-hh, protons or ions) – 100 TeV

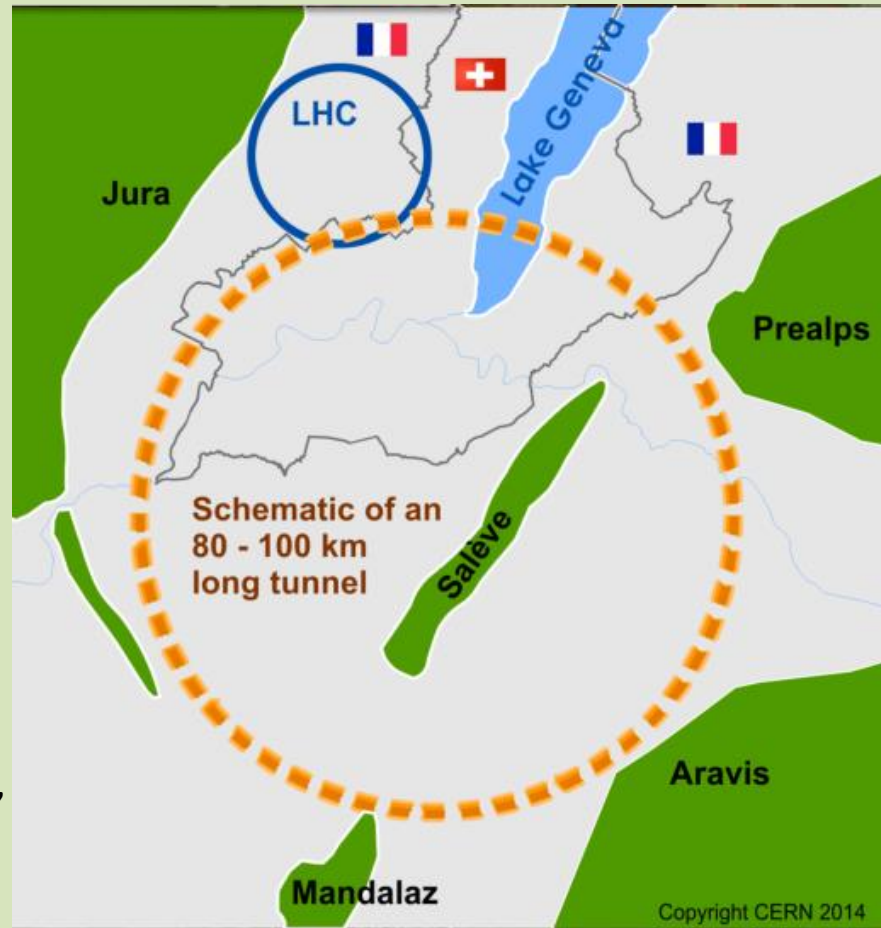
CoM – defines infrastructure.

**H<sup>+</sup>/-** coproduction with tb **2 orders of magnitude higher at 100 than at 14 TeV CoM MG4**

Aim for CDR/Cost  
Review for next ESG  
(2018) Physics ~2040

Reference: TLEP/FCC-ee physics  
1308.6176, JHEP 01 (2014) 164

S. Gascon-Shotkin 'Prospects for BSM  
Higgs Boson Searches at Future Colliders'  
,Charged2014, Uppsala Sept. 18 2014



# Навіщо працювати над детекторами – навіщо шукати нові методи ???

## 1. Why work on detectors - why invent new methods ???

**Albert Einstein 1930** at the opening of the Berlin broadcasting exhibition:

listen to: ([http://www.einstein-website.de/z\\_biography/redefunkausstellung.html](http://www.einstein-website.de/z_biography/redefunkausstellung.html)) 

### "Verehrte An- und Abwesende!

Wenn Ihr den Rundfunk höret, so denkt auch daran, wie die Menschen in den Besitz dieses wunderbaren Werkzeuges der Mitteilung gekommen sind. Der Urquell aller technischen Errungenschaften ist die göttliche Neugier und der Spieltrieb des bastelnden und grübelnden Forschers und nicht minder die konstruktive Phantasie des technischen Erfinders.

Sollen sich auch alle schämen, die gedankenlos sich der Wunder der Wissenschaft und Technik bedienen und nicht mehr davon geistig erfasst haben als die Kuh von der Botanik der Pflanzen, die sie mit Wohlbehagen frisst."

### "Venerated Attendees and Absentees!

When you listen to broadcasting, think also about how we got to own this wonderful tool of communication. The source of all technical achievements is the divine curiosity and the play instinct of tinkering and pondering scientists, and also the constructive imagination of technical inventors.

All should be ashamed, who thoughtlessly use the wonders of science and technology and understand of them as little as the cow does of the botany of plants on which she feeds with pleasure" (translation<sup>®</sup> R.Klanner – no warranty)



**А. Ейнштейн. 1930 р.**

На відкритті виставки з радіо-мовлення:

**Шановні Присутні та Відсутні !**

**Коли ви слухаєте радіотрансляцію,  
замисліться також над тим, як людство стало  
володарем цього прекрасного знаряддя  
комунікації.**

**Джерелом усіх технічних досягнень є  
божественна допитливість та ігорний  
інстинкт вчених майструвати чи  
розмишляти, а також конструктивна  
фантазія технічних винахідників.**

**Повинно бути соромно тим, хто бездумно  
використовує чудеса науки і техніки,  
розуміючи їх так мало, як корова  
ботаніку рослин, які вона поїдає з  
насолудою.**

# Що дав людству енергетичний простір електрон-вольтового масштабу ?





# Що дав людству енергетичний простір електрон-вольтного масштабу ?



The [International Space Station \(ISS\)](#) is the largest and the most complex orbital outpost in history, and it is **the most expensive object ever constructed by mankind at 157 billion dollars.**

**«Ноїв ковчег для людства»  
Міжнародні команди готуються і в ЦЕРН**

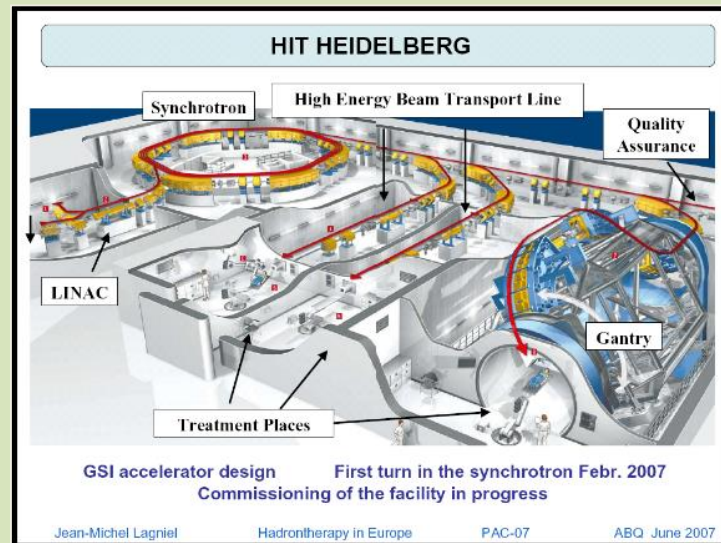


<http://s2.thingpic.com/images/SW/ieQT2MM1gk7Ac3b21zMpeLRj.jpeg>

# Що дав людству енергетичний простір Мега ( $10^6$ )-електрон-вольтного масштабу ?



Вступ.  
Нові Знання. Простір. Час. Енергетика. Об'єкти досліджень. Знаряддя досліджень.



**Carbon 12 (3 Tt rooms - 1000 pts/year)**

	Investment M €	running cost M €	Tt cost €
• Heidelberg	68	14	26 000
• TERA	89	13	25 000
• Lyon Etoile	88	17	27 000
• MedAustron	75	14	24 000
• Karolinska	80	17	27 000



**Що очікує людство  
в енергетичному просторі  
Тера ( $10^{12}$ ) - електрон-вольтного масштабу ?**

...

- ???
- ?????
- ???????
- **Дослідження на Великому Адронному  
Колайдері –  $10^{13}$  eV**